



第2章 图像和视觉基础

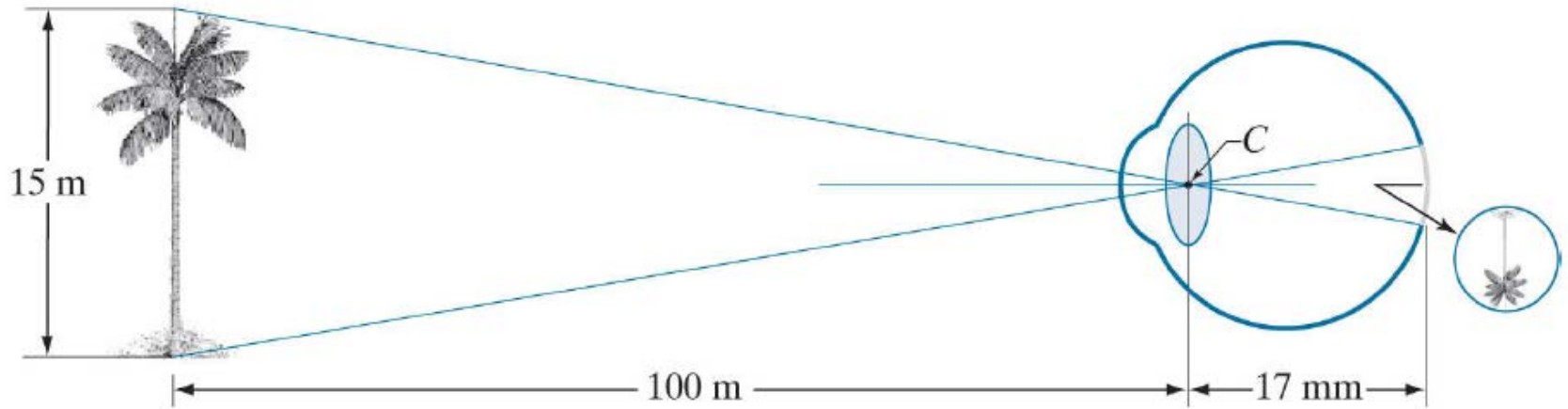
2.1 视觉基础

2.2 成像基础

2.3 图像基础

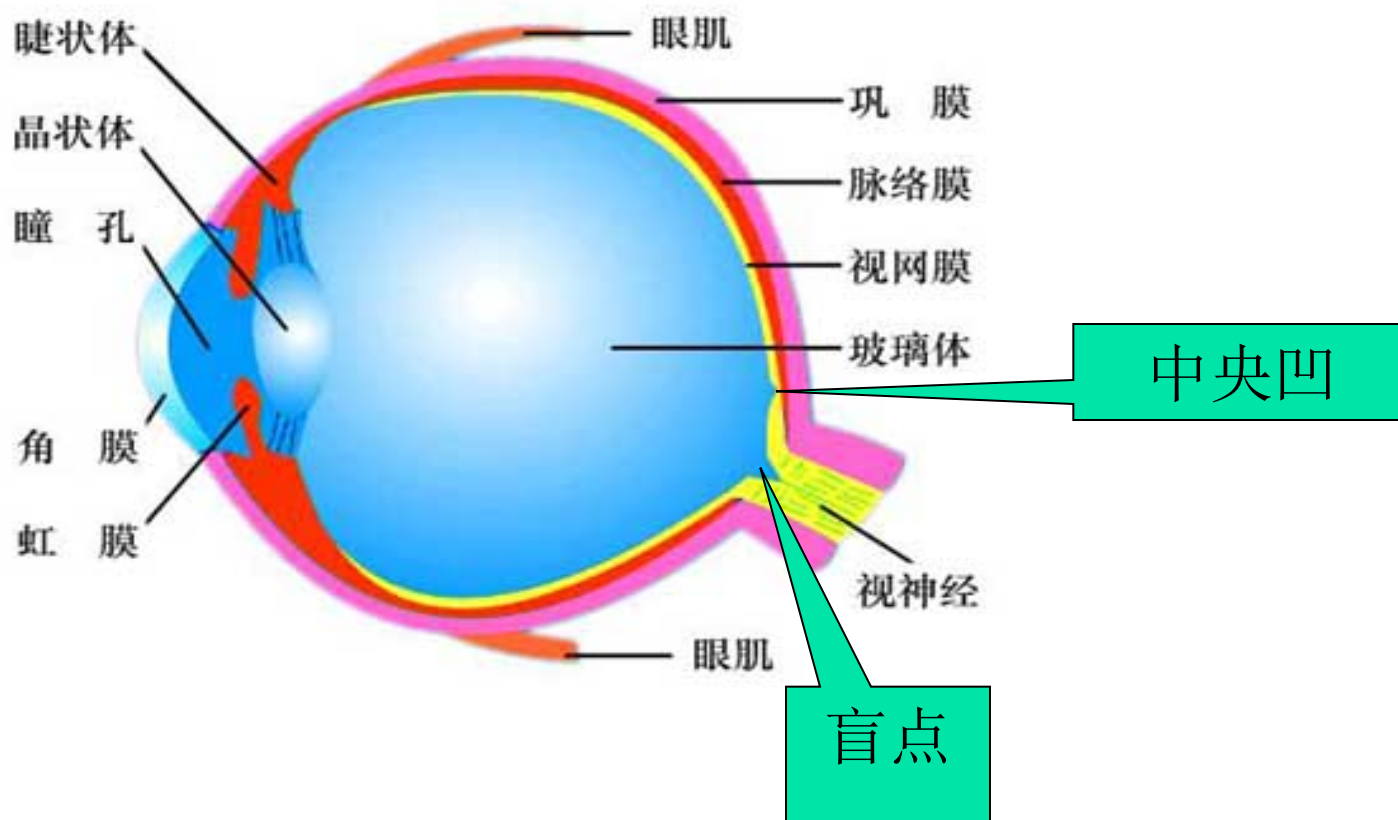
2.1 视觉基础

1. 人眼成像过程

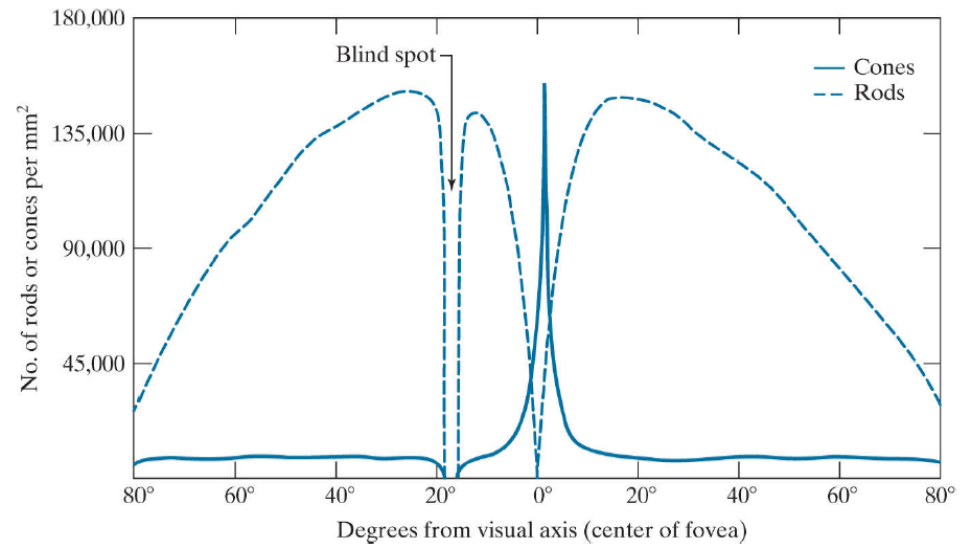
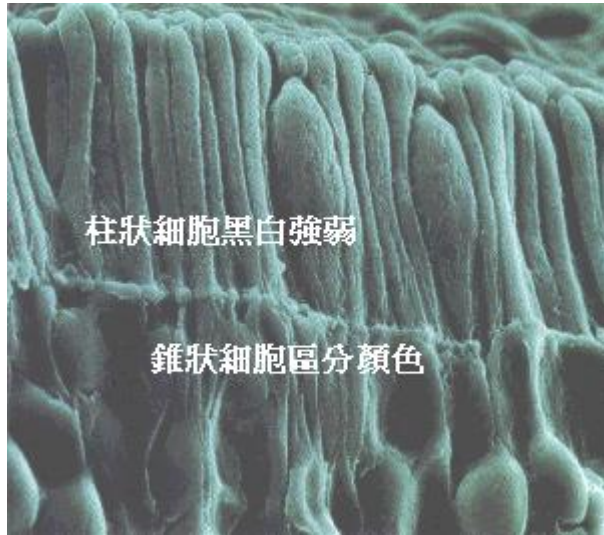


Graphical representation of the eye looking at a palm tree.
Point C is the optic center of the lens

■ 眼睛的结构



视觉细胞：锥细胞、柱细胞



Distribution of rods and cones in the retina

锥细胞：主要分布在视网膜的中央凹，体积小，排列密度很高，感光灵敏度低，对颜色很敏感。锥细胞视觉称为**明视觉**或**亮光视觉**。

柱细胞：从中央凹开始向四周慢慢减少，体积大，分布面大且几个柱细胞联到同一个神经末梢，使得分辨率比较低；主要提供视野的**整体视象**，不感受颜色并对低照度较敏感，形成具有高灵敏度的无色觉功能的**暗视觉**。

例如在日光下鲜艳的彩色物体在月光下变得像无色的，就是由于只有柱细胞在工作。

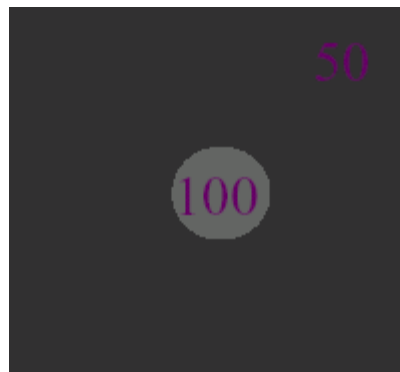
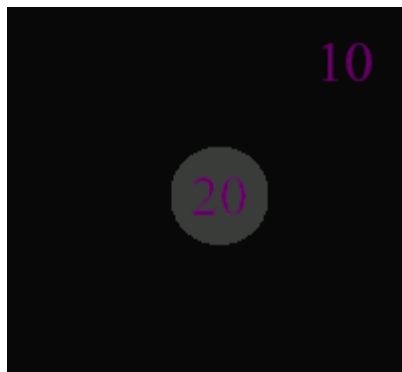
2. 人眼视觉特性

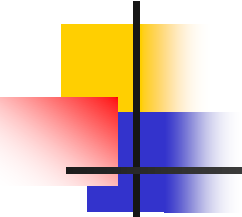
(1) 人的视觉适应范围大:

范围广 { 无月光黑夜
 ⋮
 正午时雪地

亮度之间相差 10^{10} 倍

实验:





结论：只要对比度保持一定，亮度即使在很宽范围内变动，人的亮度感受也是相同的——这种现象称为**亮度恒定**。

亮度恒定无法用线性模型去解释，但是用对数模型则可以得到圆满的解释。

$$\ln 20 = 2.996, \ln 10 = 2.303$$

$$\ln 100 = 4.605, \ln 50 = 3.912$$

$$\ln 20 - \ln 10 = \ln 100 - \ln 50 = 0.693 \quad \text{——视觉的对数性质}$$

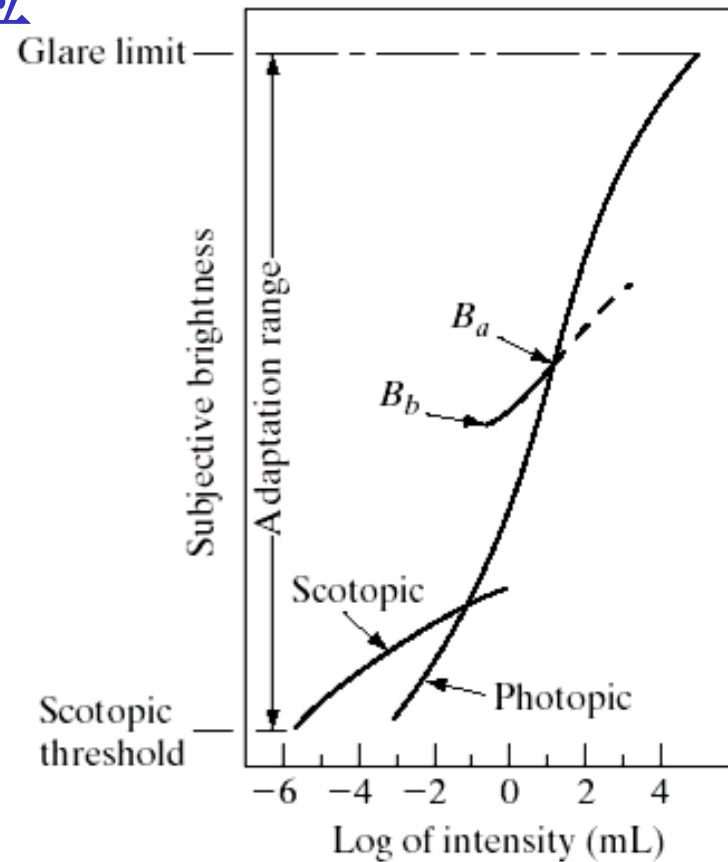
结论：重现影像的亮度无需等于实际影像的亮度，只需保持两者的最大亮度 B_{\max} 与最小亮度 B_{\min} 之比值不变就可以了。

相同的对比度

相同的亮度层次（灰度级别）

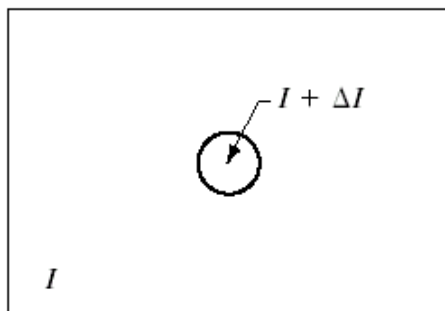
} **真实的感受**

(2) 亮度适应



Range of subjective brightness sensations
showing a particular adaptation level

(3) 亮度区分



Basic experimental setup used to characterize brightness discrimination

实验:背景亮度为 I , 光斑(圆形目标)亮度 $I + \Delta I$

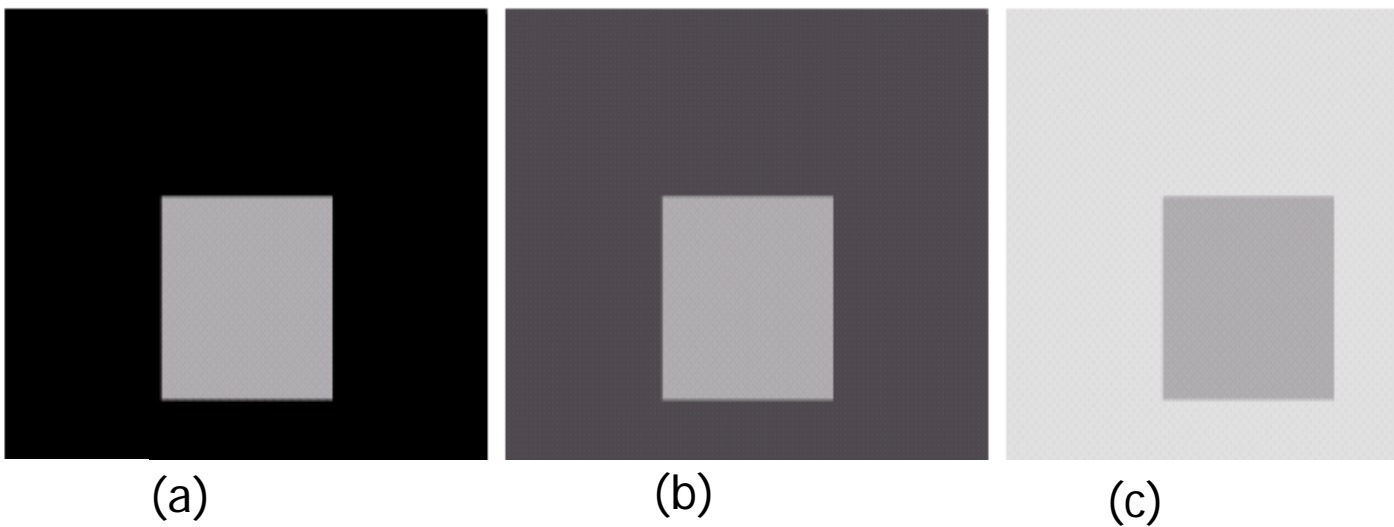
韦伯比 = $\Delta I / I$

Weber定律:当背景宽广且亮度均匀, 则 ΔI 很大范围内近似同 I 成正比, 最优照明条件下 $\Delta I / I$ 为一常数其值约为0.01。

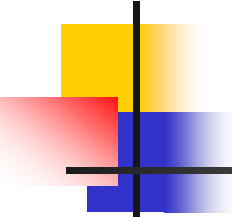
人眼的对比灵敏度与周围环境的亮度有密切关系。



(4) 同时对比度

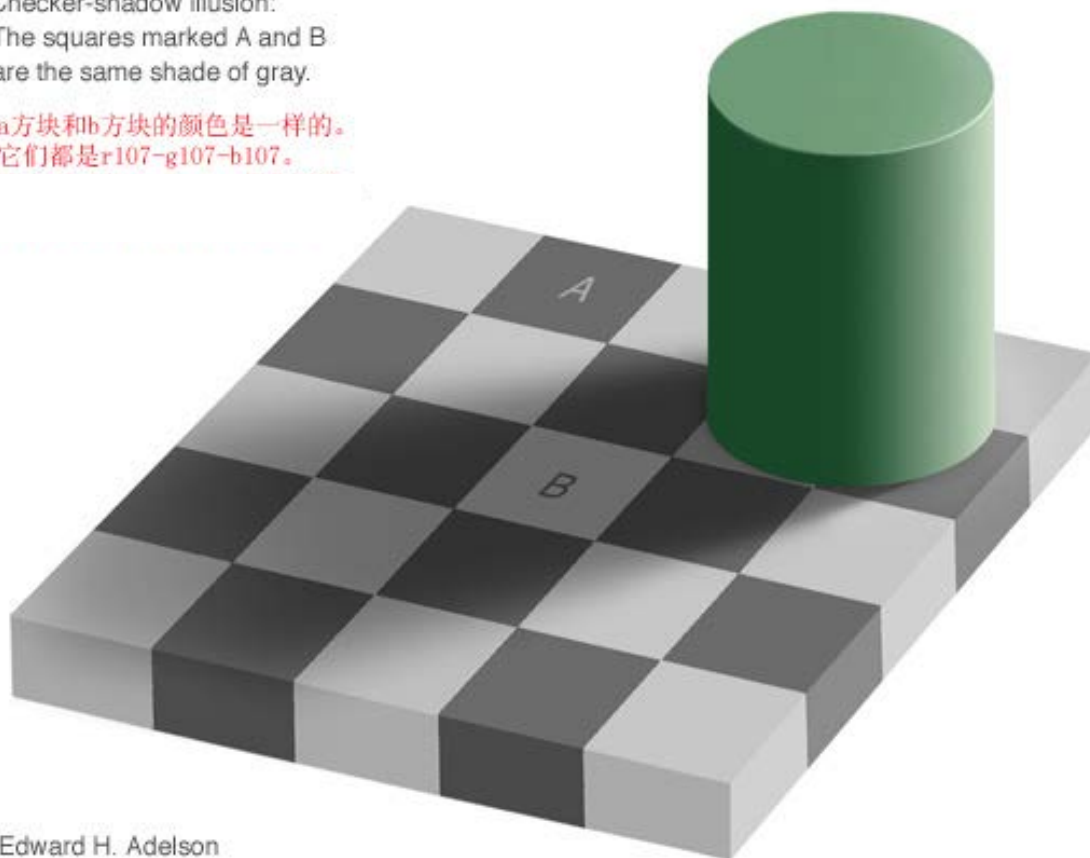


Examples of simultaneous contrast. All the inner squares have the same intensity, but they appear progressively darker as the background becomes lighter.

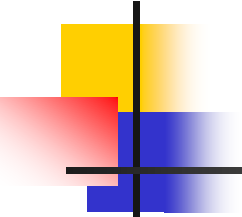


Checker-shadow illusion:
The squares marked A and B
are the same shade of gray.

a方块和b方块的颜色是一样的。
它们都是r107-g107-b107。

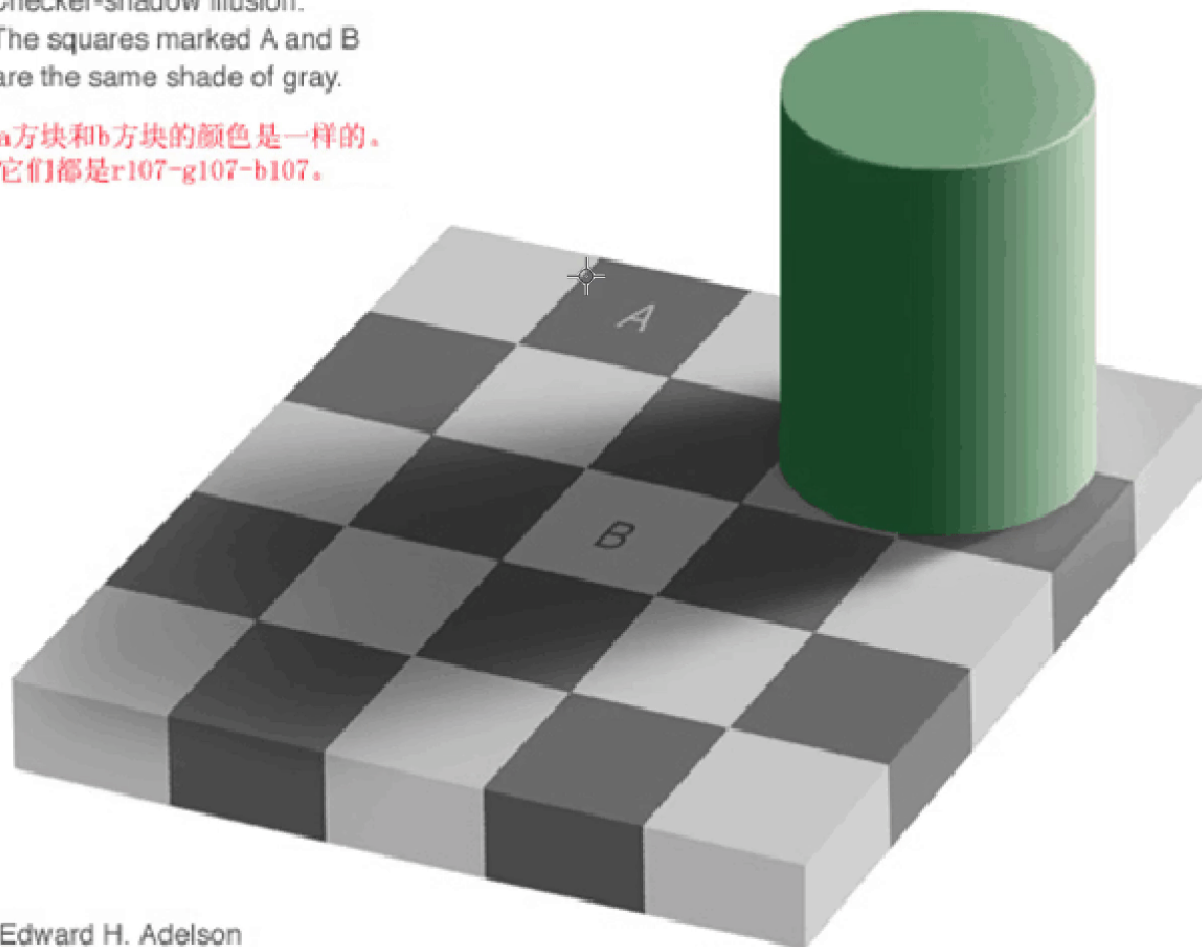


Edward H. Adelson



Checker-shadow illusion:
The squares marked A and B
are the same shade of gray.

a方块和b方块的颜色是一样的。
它们都是r107-g107-b107。



Edward H. Adelson



(5) 视觉惰性:

人眼对于亮度的突变并不是马上就适应的,而是需要一定的过渡过程时间。人眼这种对亮度改变进行跟踪的滞后性质称为视觉惰性。

人眼的记忆特性:

在亮度消失以后尚能保持 $1/20 \sim 1/10$ 秒

当闪烁光源每秒钟闪烁次数越过 $10 \sim 20$ 次时便会给人以均匀发光体的感觉

电影画面

24幅/s

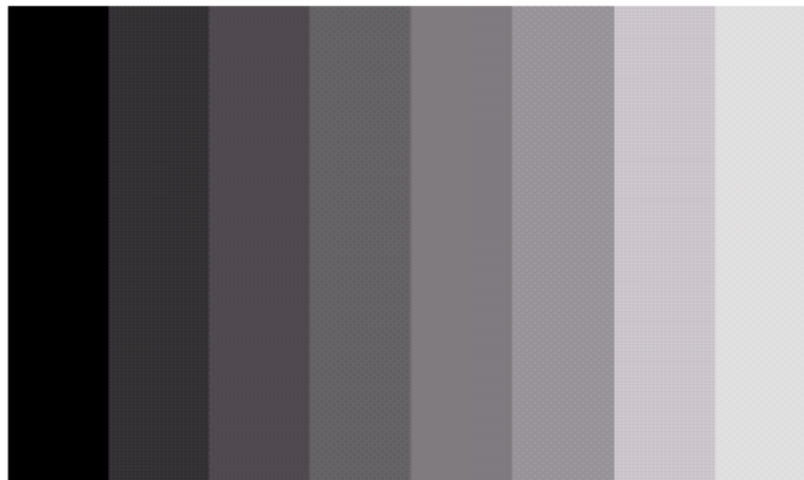
闪烁的感觉与

亮度变化幅度
相继两幅画面的亮度分布
相继两幅画面的色彩
距离
环境亮度

有关

3. 结论

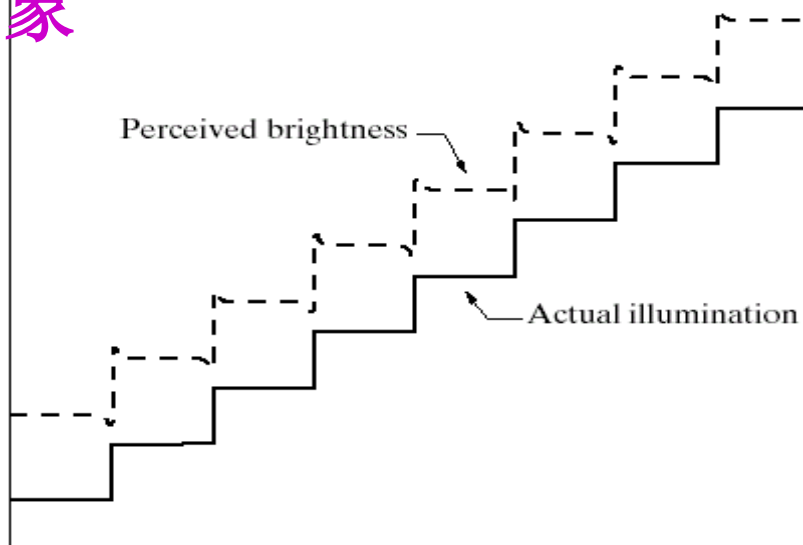
- (1) 对数特性
- (2) 分辨率
- (3) 相对性



(a) An example showing that perceived brightness is not a simple function of intensity.

4. 其它视觉上的现象

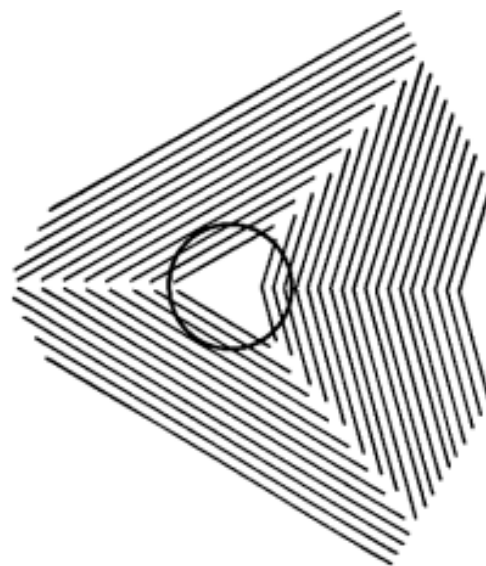
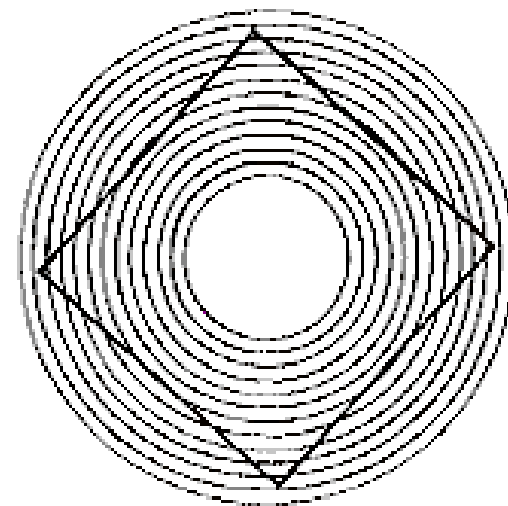
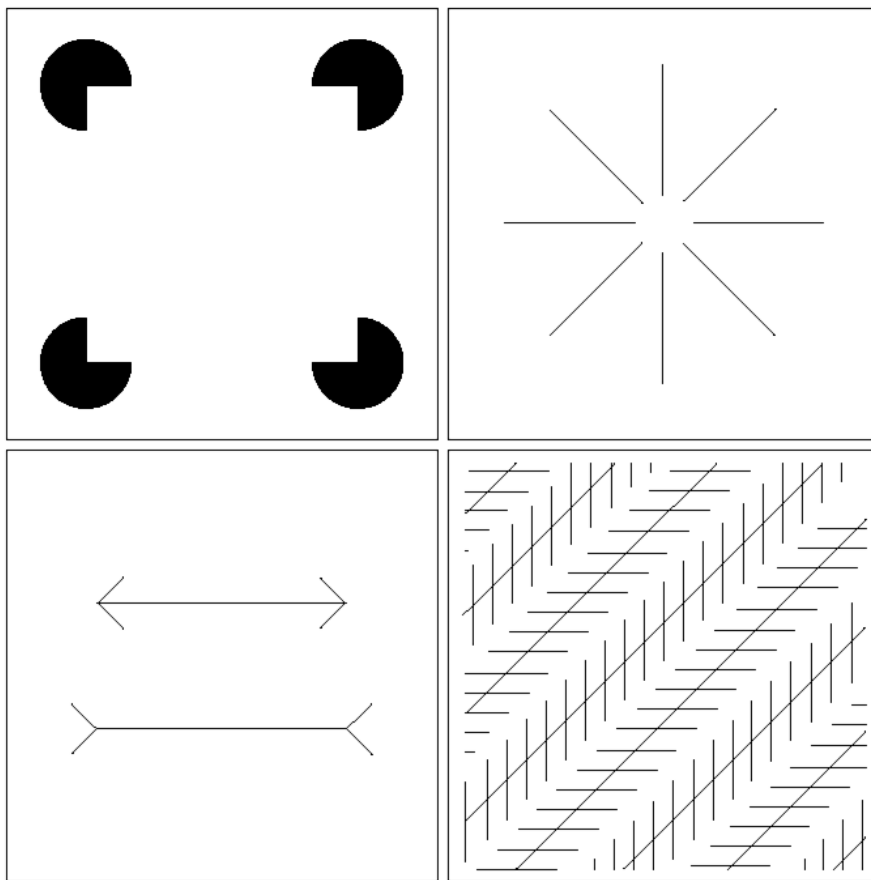
- (1) 马赫带效应:



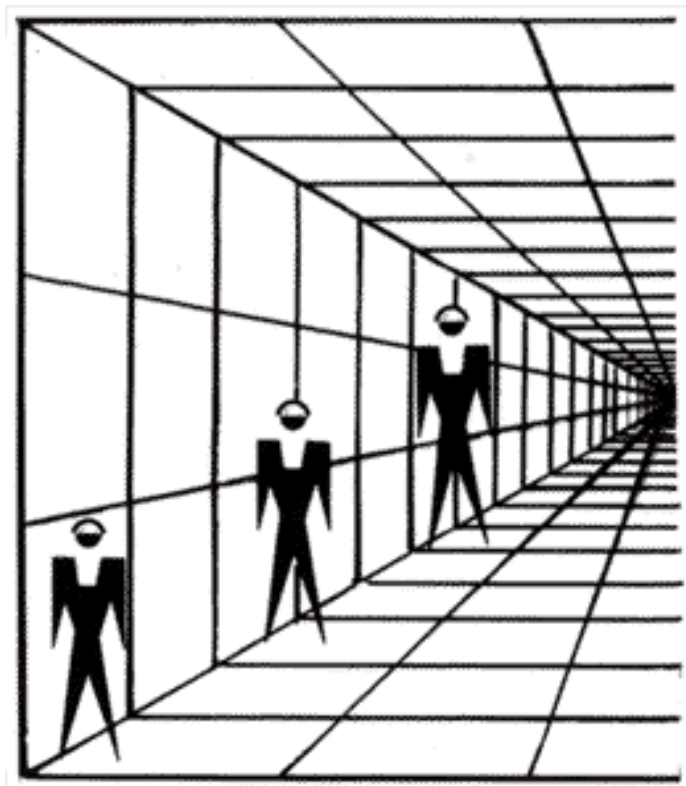
(b)



(2) 虚假轮廓:

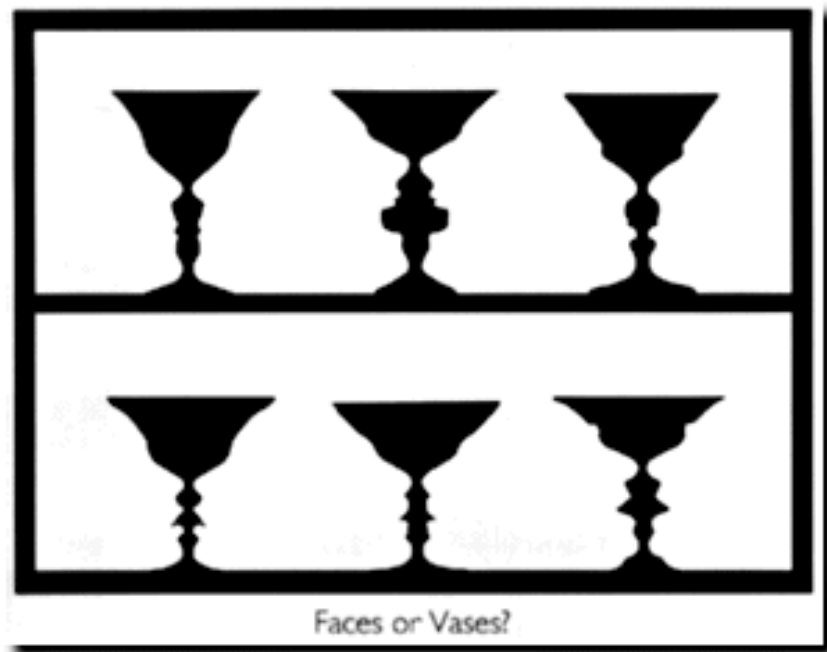


Some well-known
optical illusions





音乐家或头像？



对图像的认识或理解是由感觉和心理状态决定的，数字图像处理后的图像很多情况下是给人观察和评价的，因此受人的因素影响较大。



倒过来看看

5. 图像的噪声分析

噪声：妨碍人们感觉器官对所接收的信源信息理解的因素。



“不可预测，只能用概率统计方法来认识的随机误差”。

用概率**分布函数**和概率**密度函数**描述随机现象。

通常用**数字特征**来反映噪声的特征

噪声的产生途径

物理对象

光：不均匀的光照

电磁：通过辐射耦合

图像采集

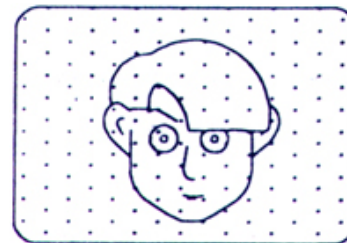
量化噪声

热噪声等

传输

接收者

设备间的干扰



通常的处理：假设各部分的噪声统计独立。



噪声的分类:

按统计理论分为:

平稳噪声: 统计特性不随时间变化

非平稳噪声: 统计特性随时间变化

按频谱形状分为:

白噪声: 频谱均匀分布

三角噪声: 频谱与频率平方成正比

按概率密度函数分布分: 高斯噪声、雷利噪声、

脉冲(椒盐)噪声等

按噪声与信号关系分: 加性噪声、乘性噪声



注意： 为了分析处理方便，

1. 将噪声近似认为是**加性噪声**：

$$U(x, y) = I(x, y) + n'(x, y)$$

U：受干扰的图像。I：原图；n：噪声

2. 假定信号和噪声是互相统计独立。**加性噪声**和图像信号强度是不相关的
3. **乘性噪声**与图像信号强度有关，随图像信号的变化而变化

$$U(x, y) = I(x, y) * n'(x, y)$$



6. 图像质量评价

图像质量:主要指图像的保真度,它描述了被评价图像偏离原始标准图像的程度。

图像质量的度量在图像处理中起着重要作用。为评价各种处理技术或系统的性能为设计工作提供依据

- (1) 主观评价法
- (2) 图形测试法
- (3) 数值计算法



(1) 主观评价法

合理、可靠

度量尺度——绝对性和比较性

- 主观评价法通常采用打分法即求出平均得分
- 要求打分者不少于20人，其中包括训练有素的专家，也可有没有经验的外行代表人群的平均水平



图像质量评价

a) 全优度尺度

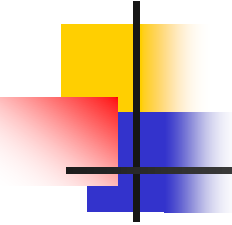
- 5 优
- 4 好
- 3 中
- 2 差
- 1 劣

b) 损害尺度

- 7 未感觉损害
- 6 刚好感觉损害
- 5 感觉到, 但只对图像有轻微损害
- 4 对图像有损害, 但尚悦目
- 3 稍感不悦目
- 2 不悦目
- 1 非常不悦目

c) 群优度尺度

- 7 一群中最好的
- 6 好于该群平均水平
- 5 稍好于该群平均水平
- 4 该群平均水平
- 3 稍差于该群平均水平
- 2 差于该群平均水平
- 1 一群中最差的


$$\bar{J} = \sum_{i=1}^K n_i J_i / \sum_{i=1}^K n_i$$

其中K :质量等级总数(如全优度尺度K=5 , 损害尺度K=7等)

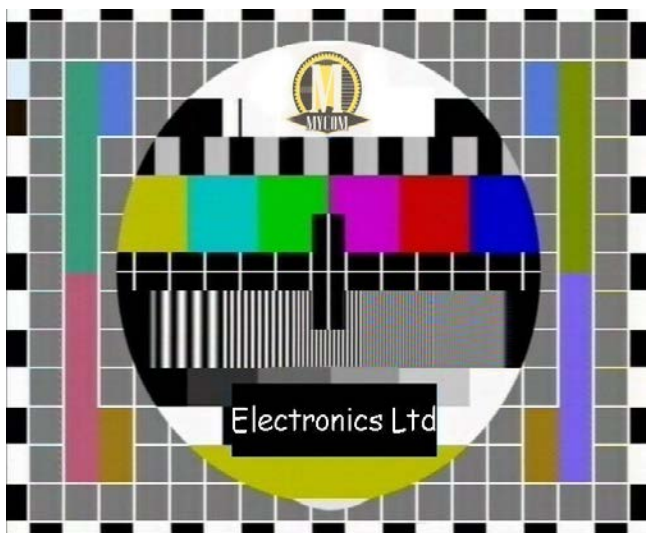
n_i : 判断图像为第i级的人数

J_i : 第i级质量规定的得分, 即等级表中前面的序数

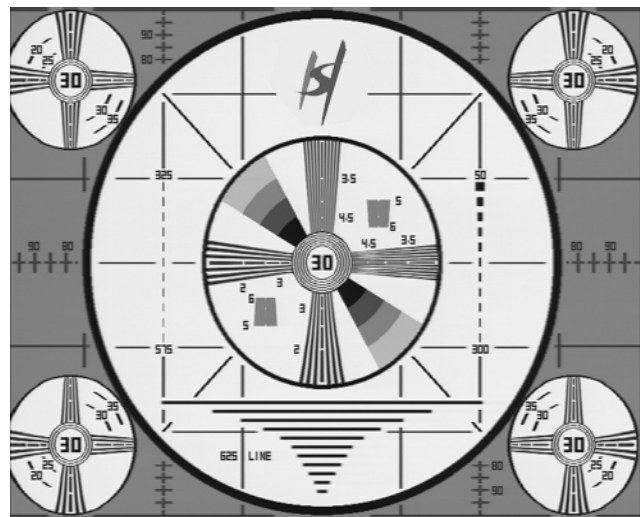
(2) 图形测试法

用波形和测试图案进行图像质量评价

对电视系统，通常使用**电子测试波形**或由摄像机摄取**测试图案卡片**进行图像质量测试和评价。



彩色
电视
图像
测试
卡



图像显
示器的
清晰度
检测及
图像显
示特性
检查

该方法简单易行，但测得的结果与主观质量评价结果往往不一致。



(3) 数值计算法

计算被评价的图像偏离标准图像的程度，该方法得到的结果通常与主观评价法的结果不一致，其主要原因是人眼有非线性及自适应的特性。

质量尺度：均方误差法

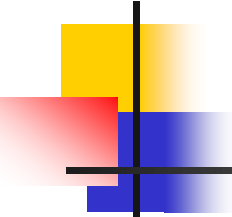
采用能量归一化的均方误差：

$$q_E = \sum_{X=0}^{M-1} \sum_{Y=0}^{N-1} [f(x, y) - \hat{f}(x, y)]^2 / \sum_{X=0}^{M-1} \sum_{Y=0}^{N-1} [f(x, y)]^2$$

采用峰值归一化的均方误差：

$$q_E = \sum_{X=0}^{M-1} \sum_{Y=0}^{N-1} [f(x, y) - \hat{f}(x, y)]^2 / MNA^2$$

标准图像： $f(x, y)$ 被评价图像： $\hat{f}(x, y)$ 标准图像的峰值： A

- 
- 均方误差度量法的**优点**：直观、容易计算
 - 均方误差度量法的**缺点**：有时与主观评价法不一致，其主要原因是人眼有非线性及自适应的特性
 - 图像的编码、量化、压缩采用均方误差法
 - 图像的增强、平滑、恢复采用主观评价法

2.2 成像基础

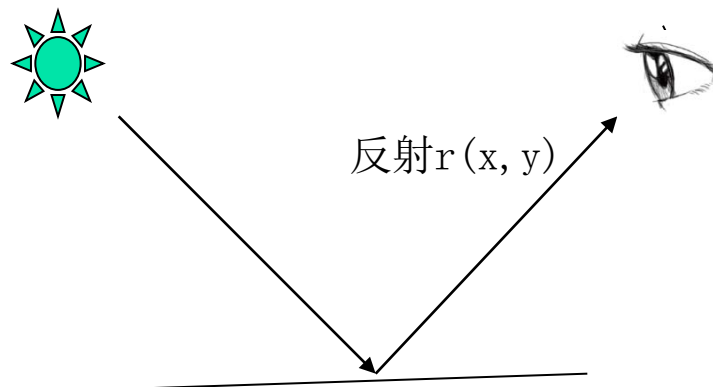
一. 反射模型

$f(x, y)$ 表示图像在坐标 (x, y) 的亮度, $i(x, y)$ 为照度成分, $r(x, y)$ 为反射成分

$$f(x, y) = i(x, y) r(x, y)$$

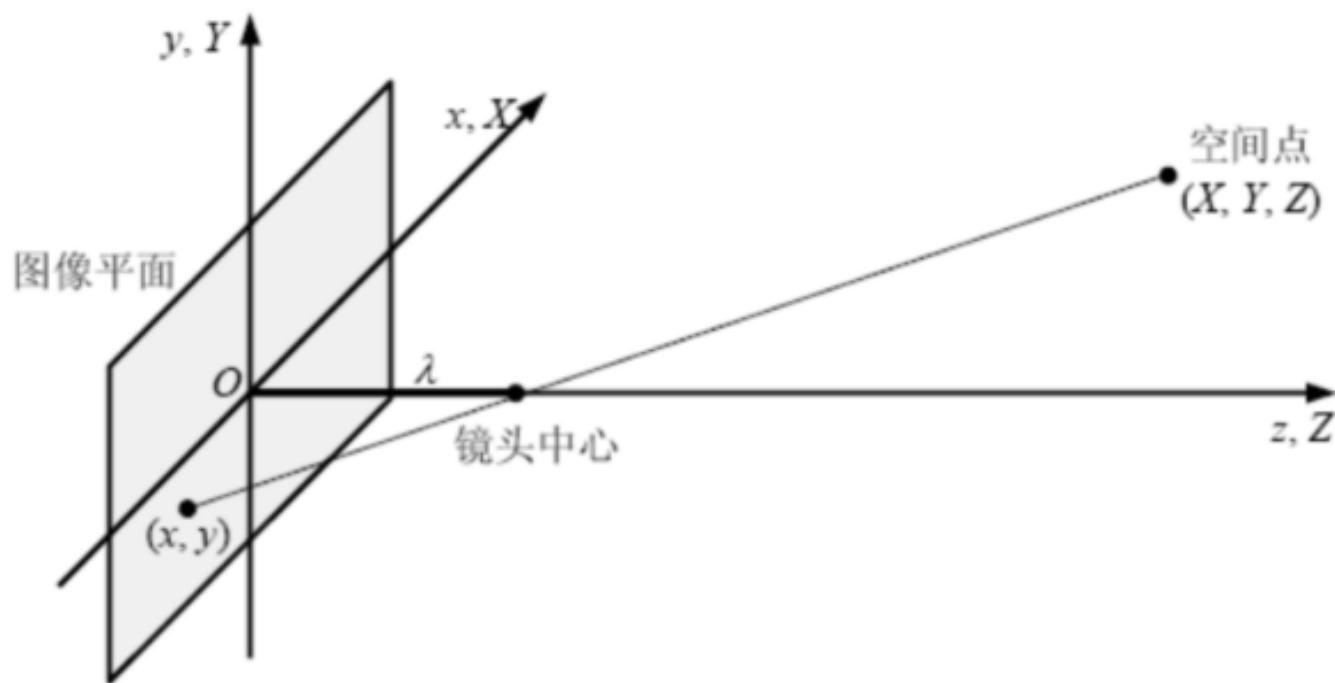
$$0 < i(x, y) < \infty$$

$$0 \leq r(x, y) \leq 1$$



二. 成像几何模型

世界坐标系 $X\ Y\ Z$, 摄像机坐标系 $x\ y\ z$,
图像平面 $x\ y$



投影成像示意图

1. 正投影变换:

$$\frac{x}{\lambda} = -\frac{X}{Z-\lambda} = \frac{X}{\lambda-Z}$$

$$x = \frac{\lambda X}{\lambda - Z}$$

$$\frac{y}{\lambda} = -\frac{Y}{Z-\lambda} = \frac{Y}{\lambda-Z}$$

$$y = \frac{\lambda Y}{\lambda - Z}$$

空间点W的齐次坐标: $W_h = [kX \quad kY \quad kZ \quad k]^T$

正投影变换: 摄像机的齐次坐标 $C_h = p \cdot W_h$

透视矩阵:

$$p = \begin{bmatrix} 1 & 0 & 0 & 0 \\ 0 & 1 & 0 & 0 \\ 0 & 0 & 1 & 0 \\ 0 & 0 & -\frac{1}{\lambda} & 1 \end{bmatrix}$$

摄像机的笛卡尔坐标: $C = [\frac{\lambda X}{\lambda - Z} \quad \frac{\lambda Y}{\lambda - Z} \quad \frac{\lambda Z}{\lambda - Z}]^T$

图像坐标: $[\frac{\lambda X}{\lambda - Z} \quad \frac{\lambda Y}{\lambda - Z}]^T$



2. 逆投影变换:

由图像上一点的坐标可求出对应空间点的坐标， p^{-1} 为 p 的逆矩阵

逆投影变换: $W_h = p^{-1} \cdot C_h$

$$p^{-1} = \begin{bmatrix} 1 & 0 & 0 & 0 \\ 0 & 1 & 0 & 0 \\ 0 & 0 & 1 & 0 \\ 0 & 0 & \frac{1}{\lambda} & 1 \end{bmatrix}$$



由图像上一点的坐标C , 求出对应空间点的坐标 W:

$$C_h = [kx \quad ky \quad 0 \quad k]^T$$

逆投影变换: $W_h = p^{-1} \cdot C_h$ $p^{-1} = \begin{bmatrix} 1 & 0 & 0 & 0 \\ 0 & 1 & 0 & 0 \\ 0 & 0 & 1 & 0 \\ 0 & 0 & \frac{1}{\lambda} & 1 \end{bmatrix}$

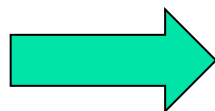
$$W_h = [kx \quad ky \quad 0 \quad k]^T \text{ 不合理!}$$

原因:

正变换为多对一
逆变换为一对多

由正变换:

$$x = \frac{\lambda X}{\lambda - Z}$$
$$y = \frac{\lambda Y}{\lambda - Z}$$



逆变换:

$$X = \frac{x}{\lambda}(\lambda - Z)$$
$$Y = \frac{y}{\lambda}(\lambda - Z)$$



图像点C的齐次坐标:

$$C_h = [kx \quad ky \quad kz \quad k]^T$$

$$P^{-1} = \begin{bmatrix} 1 & 0 & 0 & 0 \\ 0 & 1 & 0 & 0 \\ 0 & 0 & 1 & 0 \\ 0 & 0 & \frac{1}{\lambda} & 1 \end{bmatrix}$$

则:

$$W_h = [kx \quad ky \quad kz \quad \frac{kz}{\lambda} + k]^T$$

$$W : \left(\frac{\lambda x}{\lambda + z} \quad \frac{\lambda y}{\lambda + z} \quad \frac{\lambda z}{\lambda + z} \right)$$

所以:

$$X = \frac{x}{\lambda} (\lambda - Z), Y = \frac{y}{\lambda} (\lambda - Z)$$



2.3 图像基础

1. 像素间的联系
2. 图像的运算
3. 灰度直方图
4. 图像的代数和逻辑运算
5. 图像的几何运算

1. 像素间的联系

(1) 像素的邻域

像素点 p 的4邻域 $N_4(p)$

像素点 p 的4对角 $N_D(p)$

像素点 p 的8邻域 $N_8(p)$

	r	
r	P	r
	r	

S		S
	P	
S		S

S	r	S
r	P	r
S	r	S

(2) 连通性

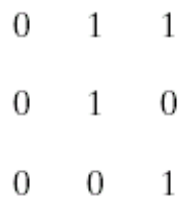
连接： V 是某个特定的相似准则

4-连接： 2个像素 p 和 r 在 V 中取值且 r 在 $N_4(p)$ 中；

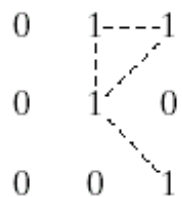
8-连接： 2个像素 p 和 r 在 V 中取值且 r 在 $N_8(p)$ 中；

M-连接: 2个像素p和r在V中取值且满足下列条件之一:

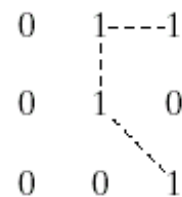
$$\begin{cases} r \text{ 在 } N_4(p) \text{ 中;} \\ r \text{ 在 } N_D(p) \text{ 中且 } N_4(p) \cap N_4(r) = \Phi \end{cases}$$



(a)



(b)



(c)

(a) Arrangement of pixels; (b) pixels that are 8-adjacent (shown dashed) to the center pixel; (c) m-adjacency

连通:

从像素 $p(x_0, y_0)$ 到像素 $q(x_n, y_n)$ 的通路: 特定像素序列,
其坐标为: $(x_0, y_0), (x_1, y_1), \dots, (x_n, y_n)$

并且像素 (x_i, y_i) 和 (x_{i-1}, y_{i-1}) 是连接的。

4通路、 8通路、m通路

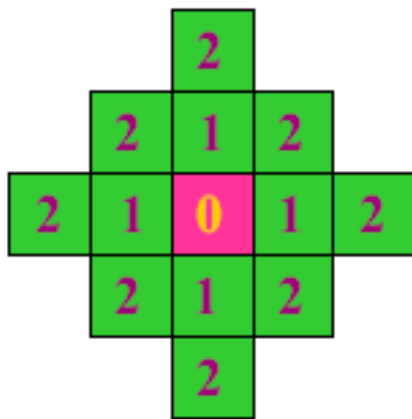
(3) 距离量度

欧式距离 D_E : 像素点 $p(x, y), q(s, t)$

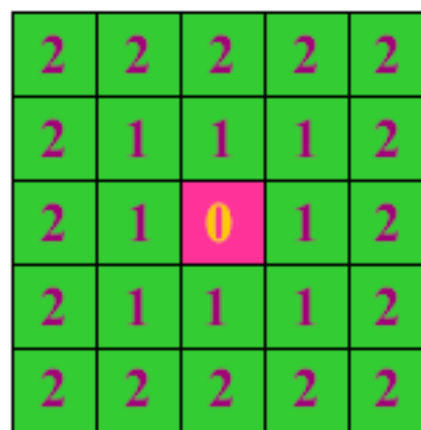
$$D_E(p, q) = [(x-s)^2 + (y-t)^2]^{1/2}$$

街区距离: $D_4(p, q) = |x-s| + |y-t|$

棋盘距离: $D_8(p, q) = \max(|x-s|, |y-t|)$



街区距离



棋盘距离



2. 图像的运算

点运算、邻域运算

对图像的处理分为：全局处理、局部处理

3. 灰度直方图

最简单、最有效的工具之一。

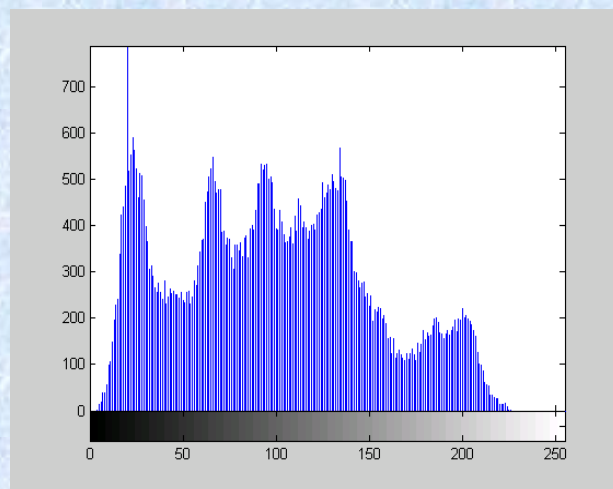
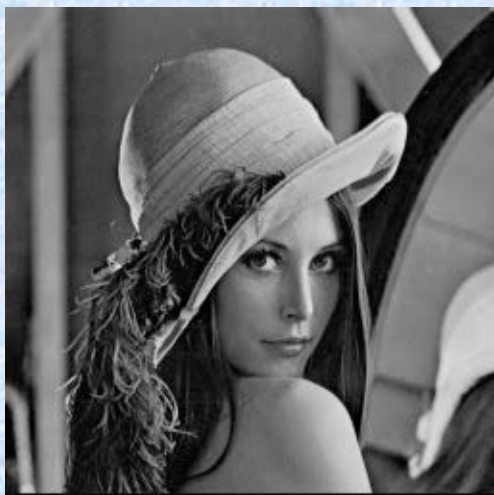
(以概率理论作基础的灰度点运算变换)

(1) 直方图定义：

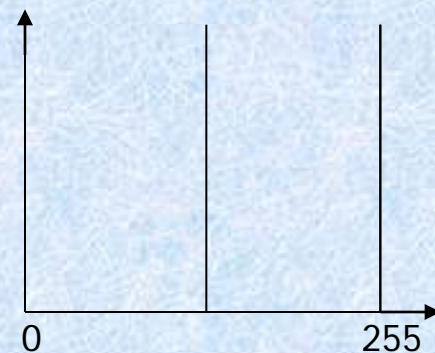
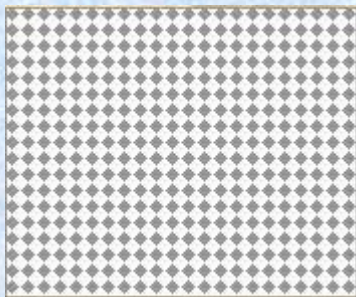
离散情况下的直方图：统计图像中具有某种灰度的像素数目

定义：是灰度级的函数，描述的是图像中具有该灰度级的像素的个数，其中横坐标是灰度级，纵坐标是该灰度级发生的频率。（归一化直方图）：

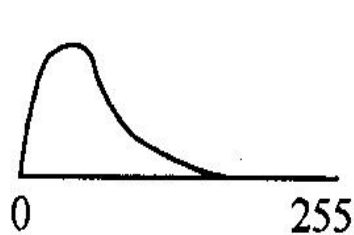
$$p(s_k) = \frac{n_k}{n}$$



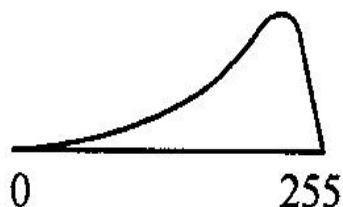
说明：一幅图像的直方图丢失所有的空间信息
一幅特定的图像有唯一的直方图，反之并不成立



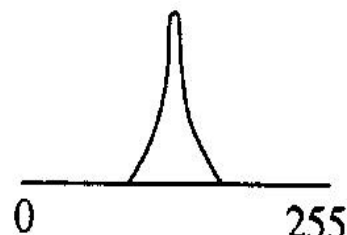
直方图反映图像的总体性质：明暗程度、细节是否清晰、动态范围大小等



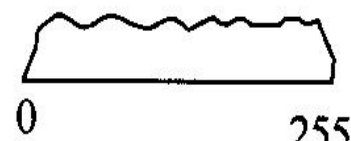
(a) 图象总体偏暗



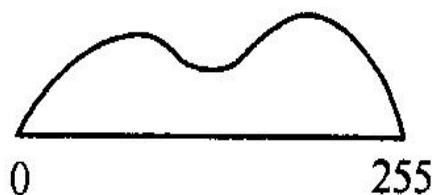
(b) 图象总体偏亮



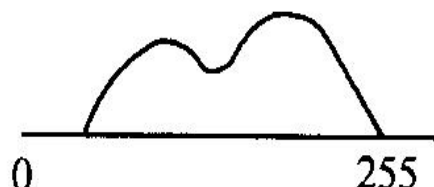
(c) 图象动态范围小，
细节不够清楚



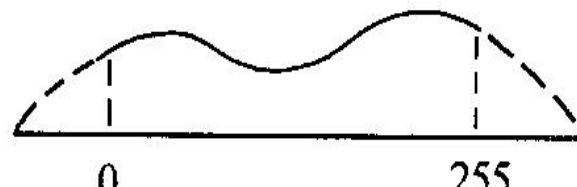
(d) 图象灰度分布均匀，
清晰明快



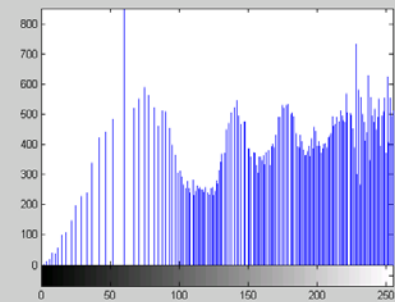
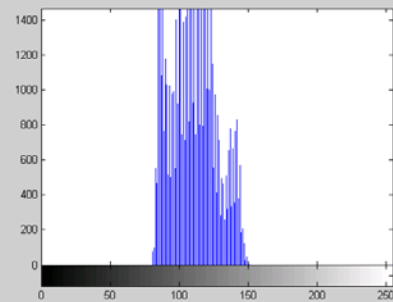
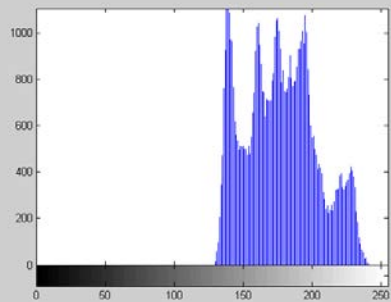
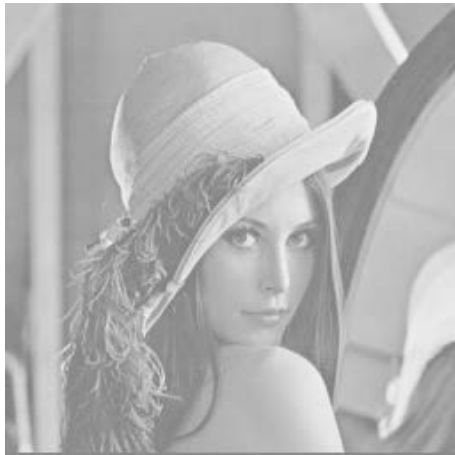
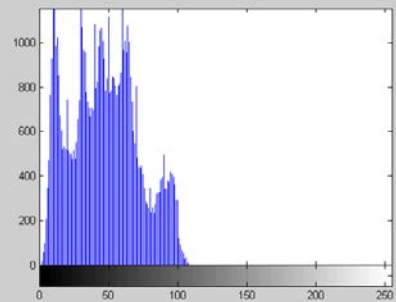
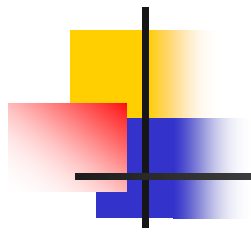
(e) 图象动态范围适中



(f) 图象动态范围偏小



(g) 图象动态范围偏大



4. 图像的代数和逻辑运算

(1) 图像的代数运算

加法：两幅图像相加，可平滑噪声等

减法：两幅图像相减，可去除固定的背景信息

乘法：用于图像的局部显示

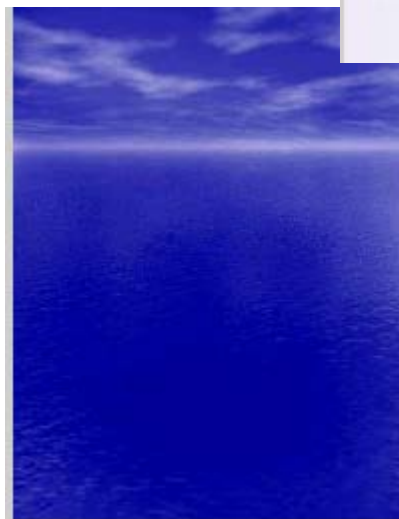
除法：用于校正图像灰度阴影

加法运算的定义

$$C(x, y) = A(x, y) + B(x, y)$$

——主要应用举例

- 去除“加性”噪声
- 生成图像叠加效果（二次曝光效果）





多帧平均降噪

设有M幅图像，加上加性噪声

$$D_i(x, y) = S(x, y) + N_i(x, y)$$

又假定加性噪声互不相关，均值为零的随机噪声，即

$$\varepsilon\{N_i(x, y)\} = 0 \quad (1)$$

且

$$\varepsilon\{N_i(x, y) + N_j(x, y)\} = \varepsilon\{N_i(x, y)\} + \varepsilon\{N_j(x, y)\} \quad (2)$$

$$\varepsilon\{N_i(x, y) \cdot N_j(x, y)\} = \varepsilon\{N_i(x, y)\} \cdot \varepsilon\{N_j(x, y)\} \quad (3)$$

定义：功率信噪比为 $P(x, y) = \frac{S^2(x, y)}{\varepsilon\{N^2(x, y)\}}$

对M幅图像求平均：

$$\begin{aligned} \bar{D}(x, y) &= \frac{1}{M} \sum_{i=1}^M [S(x, y) + N_i(x, y)] \\ &= S(x, y) + \frac{1}{M} \sum_{i=1}^M N_i(x, y) \end{aligned}$$



平均以后的功率信噪比

$$\begin{aligned}\bar{P}(x, y) &= \frac{s^2(x, y)}{\mathcal{E}\left\{\left[\frac{1}{M} \sum_{i=1}^M N_i(x, y)\right]^2\right\}} \\&= \frac{M^2 s^2(x, y)}{\mathcal{E}\left\{\sum_{i=1}^M \sum_{j=1}^M N_i(x, y) N_j(x, y)\right\}} \\&= M^2 \frac{S^2(x, y)}{\mathcal{E}\left\{\sum_{i=1}^M N_i^2(x, y)\right\} + \mathcal{E}\left\{\sum_{i=1}^M \sum_{j=1, j \neq i}^M N_i(x, y) N_j(x, y)\right\}} \\&= \frac{M^2 \cdot s^2(x, y)}{\sum_{i=1}^M \mathcal{E}\{N_i^2(x, y)\} + \sum_{i=1}^M \sum_{j=1, j \neq i}^M \mathcal{E}\{N_i(x, y)\} \mathcal{E}\{N_j(x, y)\}} \\&= \frac{M^2 s^2(x, y)}{M \mathcal{E}\{N_i^2(x, y)\}} = MP(x, y)\end{aligned}$$

图像平均降噪效果

(a)
原图
+ 高斯噪声



(a)

(b)
4
幅度图平均



(b)

(c)
8
幅度图平均



(c)

(d)
16
幅度图平均



(d)



减法的定义

$$C(x, y) = A(x, y) - B(x, y)$$

利用和的运算求差的运算，
将一图求反即可

主要应用举例

- 去除固定的背景信息
- 检测同一场景两幅图像之间的变化
- 计算物体边界的梯度

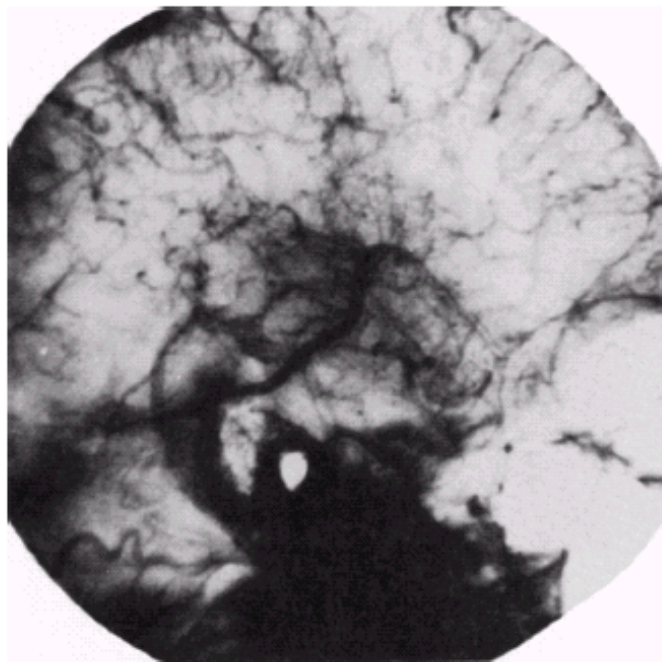
◆去除固定的背景信息

设：背景图像 $b(x, y)$ ，前景背景混合图像 $f(x, y)$

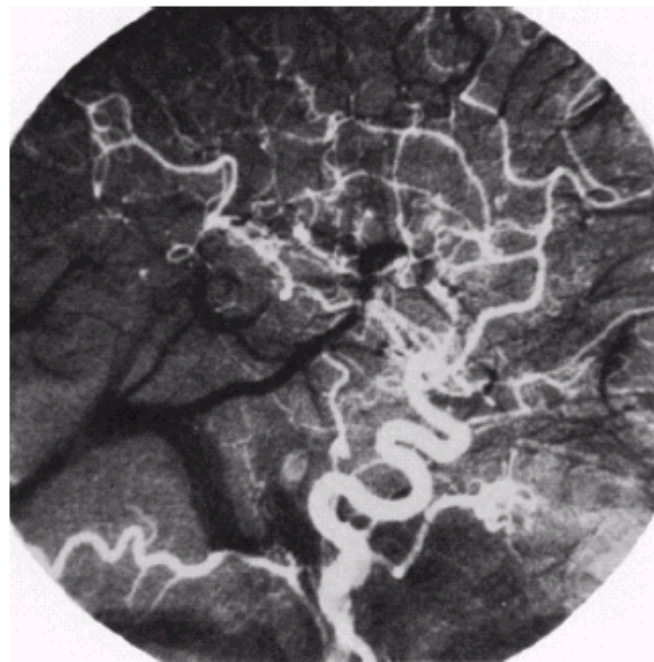
$$g(x, y) = f(x, y) - b(x, y)$$

$g(x, y)$ 为去除了背景的图像。

电视制作的蓝屏技术就基于此。



(a)



(b)

Enhancement by
image subtraction.
(a) Mask image.
(b) An image
(taken after
injection of a
contrast medium
into the
bloodstream) with
mask subtracted
out.

医学减影

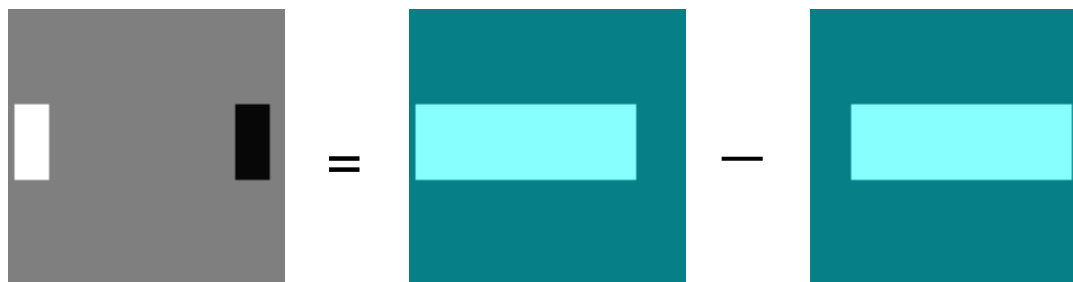


◆检测同一场景两幅图像之间的变化

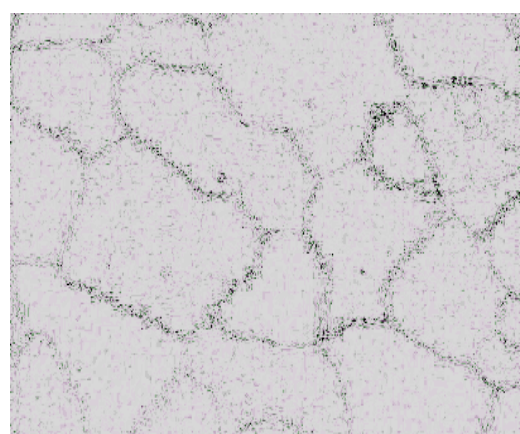
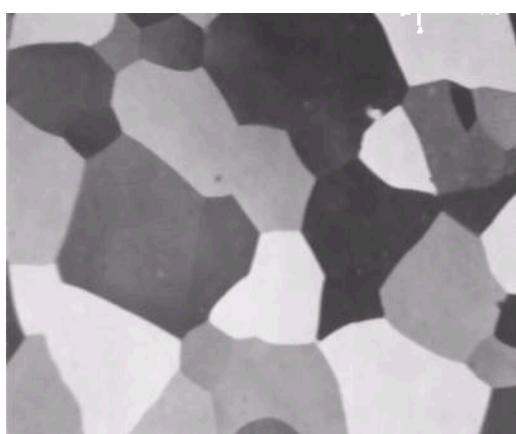
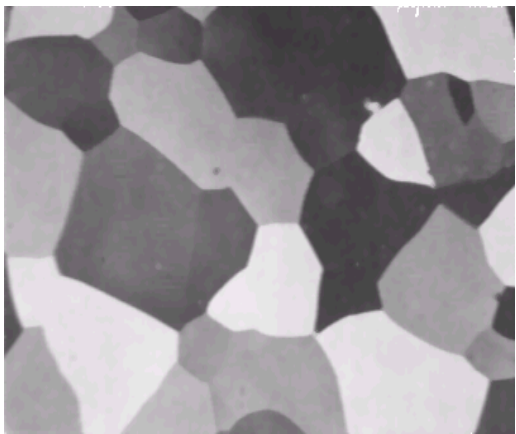
设： 时间1的图像为 $T1(x, y)$,

时间2的图像为 $T2(x, y)$,

$$g(x, y) = T2(x, y) - T1(x, y)$$



◆ 计算物体边界的梯度



原始图像

压缩解压缩后图像

相减后的结果

◆计算物体边界的梯度

(1) 梯度：图像函数 $F(x, y)$ 在点 (x, y) 上的梯度定义为矢量

$$\nabla F(x, y) = \begin{bmatrix} \frac{\partial F}{\partial x} \\ \frac{\partial F}{\partial y} \end{bmatrix}$$

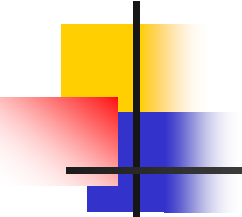
(2) 梯度的幅度为：

欧式距离 $G[F(x, y)] = \left[\left(\frac{\partial F}{\partial x} \right)^2 + \left(\frac{\partial F}{\partial y} \right)^2 \right]^{\frac{1}{2}}$

街区距离 $G[F(x, y)] = \left| \frac{\partial F}{\partial x} \right| + \left| \frac{\partial F}{\partial y} \right|$

棋盘距离 $G[F(x, y)] = \max \left\{ \left| \frac{\partial F}{\partial x} \right|, \left| \frac{\partial F}{\partial y} \right| \right\}$

(3) 梯度矢量的幅角为： $\theta_M = \arctan \left[\frac{\partial F}{\partial y} / \frac{\partial F}{\partial x} \right]$



对于数字图像不用微分而用差分，用差分近似表示梯度：

水平垂直差分法： $G[F(x, y)] = \{[F(x, y) - F(x + 1, y)]^2 + [F(x, y) - F(x, y + 1)]^2\}^{\frac{1}{2}}$

进一步简化：

$$G[F(x, y)] \approx |F(x, y) - F(x + 1, y)| + |F(x, y) - F(x, y + 1)|$$

或： $G[F(x, y)] \approx \max\{|F(x, y) - F(x + 1, y)|, |F(x, y) - F(x, y + 1)|\}$

还可以用交叉差分表示梯度：

$$G[F(x, y)] = \{[F(x, y) - F(x + 1, y + 1)]^2 + [F(x + 1, y) - F(x, y + 1)]^2\}^{\frac{1}{2}}$$

简化表示为：

$$G[F(x, y)] \approx |F(x, y) - F(x + 1, y + 1)| + |F(x + 1, y) - F(x, y + 1)|$$

这种交叉梯度称为*Roberts*梯度。

3. 乘法的定义

$$C(x, y) = A(x, y) \times B(x, y)$$

——主要应用举例

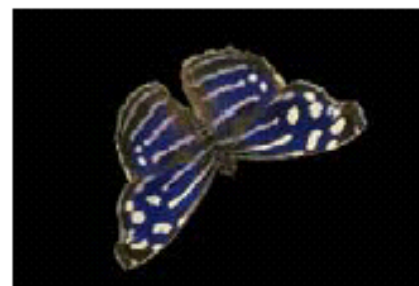
- 图像的局部显示（屏蔽掉图像的某些部分，实现掩模操作）
- 用二值蒙板图像与原图像做乘法



x



=



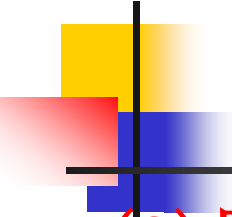
4. 除法的定义

$$C(x, y) = A(x, y) \div B(x, y)$$

应用举例:用于校正图像灰度阴影

两幅图像相除可以用来检测两幅图像之间的区别，但是除法操作给出的是相应像素值的变化比率，而不是每个像素的绝对差异，因而图像相除也称为比率变换（输出图像的亮点意味着较大的差异）





(2) 图像的逻辑运算（二值图像）：

与、或、补（反）、异或

求反的定义

$$g(x, y) = 255 - f(x, y)$$

——主要应用举例

- 获得一个阴图像
- 获得一个图像的补图像

获得一个阴图像



获得一个图像的补图像

255—



=

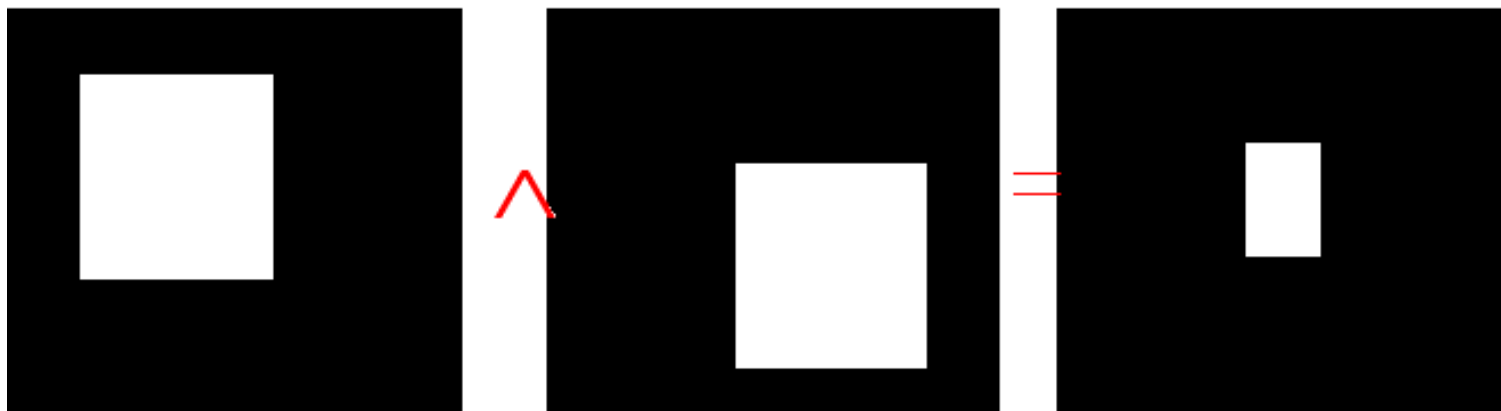


与运算的定义

$$g(x, y) = f(x, y) \wedge h(x, y)$$

——主要应用举例

求两个图像的相交子图



或运算的定义

$$g(x, y) = f(x, y) \vee h(x, y)$$

——主要应用举例

合并图像



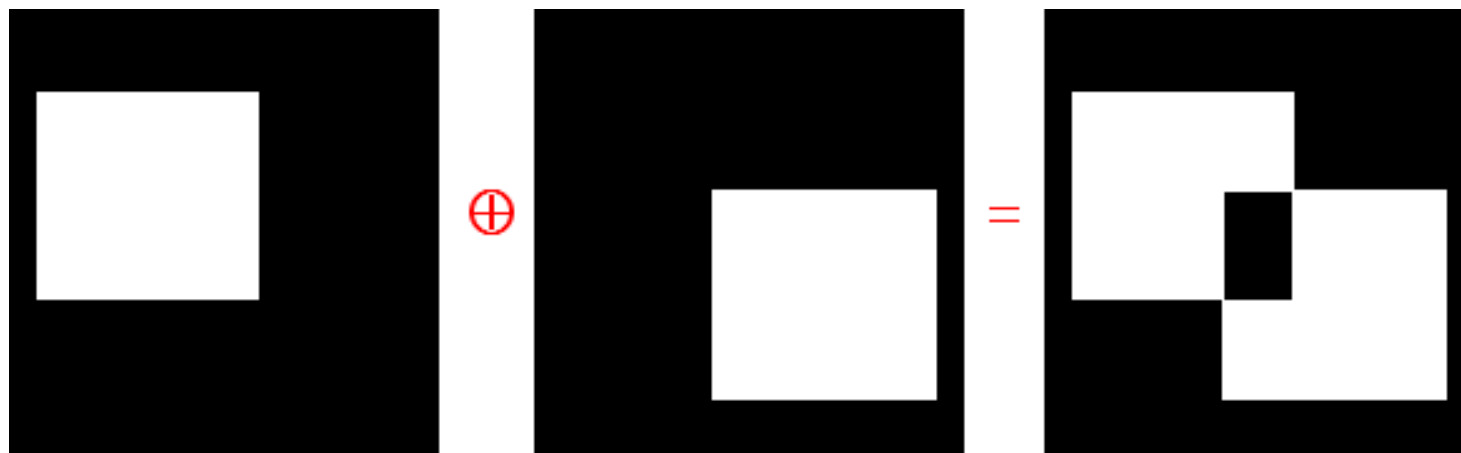


异或运算的定义

$$g(x, y) = f(x, y) \oplus h(x, y)$$

——主要应用举例

获得不相交图像



对灰度图像进行逻辑运算，像素值作为一个二进制串处理，按位进行逻辑运算应用：“与” “或” 操作通常作为模板，用于提取子图像

两幅图“与” 操作



与



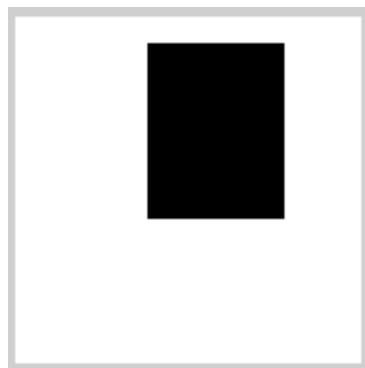
=



两幅图“或” 操作



或



=



5. 图像的几何运算

几何运算： $\left\{ \begin{array}{l} \text{空间变换} \\ \text{灰度插值} \end{array} \right.$

应用： $\left\{ \begin{array}{l} \text{实现图像的放、缩、旋转} \\ \text{对畸变图像的校正（畸变原因：扫描仪的非线性失真、地球曲率的透视影响、姿态变化或斜视成像）} \\ \text{不同来源图像的配准} \end{array} \right.$

一. 空间变换

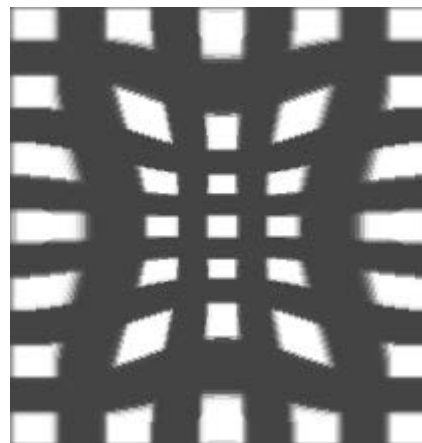
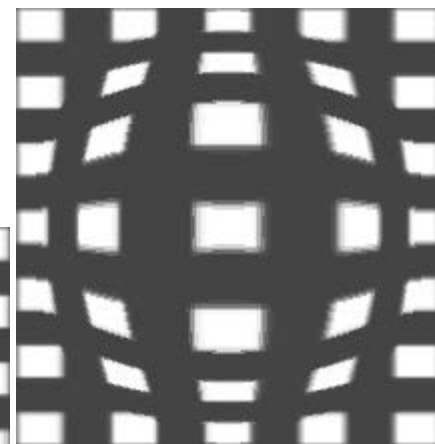
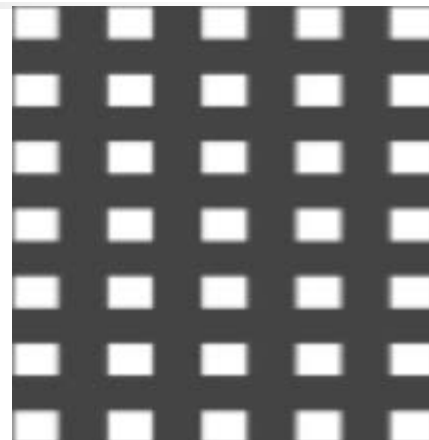
对于原图像 $f(x, y)$ ，坐标变换函数

$$x' = a(x, y); y' = b(x, y)$$

唯一确定了几何变换：

$$g(x', y') = f[a(x, y), b(x, y)];$$

$g(x', y')$ 是目标图像。



一. 空间变换

1. 简单变换:

平移

旋转

镜像: 水平镜像、垂直镜像

放缩

拉伸

(1) 平移变换

将空间点 (X, Y, Z) 平移到 (X', Y', Z')

$$\begin{cases} X' = X + X_0 \\ Y' = Y + Y_0 \\ Z' = Z + Z_0 \end{cases}$$

写成齐次变换矩阵形式:

$$\begin{bmatrix} X' \\ Y' \\ Z' \\ 1 \end{bmatrix} = \begin{bmatrix} 1 & 0 & 0 & X_0 \\ 0 & 1 & 0 & Y_0 \\ 0 & 0 & 1 & Z_0 \\ 0 & 0 & 0 & 1 \end{bmatrix} \begin{bmatrix} X \\ Y \\ Z \\ 1 \end{bmatrix}$$

$$\text{即 } V' = TV$$



将图像上的点 (x, y) 平移到 (x', y')

设: $x' = x + x_0; \quad y' = y + y_0;$

用齐次变换矩阵表示:

$$\begin{bmatrix} x' \\ y' \\ 1 \end{bmatrix} = \begin{bmatrix} 1 & 0 & x_0 \\ 0 & 1 & y_0 \\ 0 & 0 & 1 \end{bmatrix} \begin{bmatrix} x \\ y \\ 1 \end{bmatrix}$$

(2) 尺度变换:

空间点:

$$S = \begin{bmatrix} S_x & 0 & 0 & 0 \\ 0 & S_y & 0 & 0 \\ 0 & 0 & S_z & 0 \\ 0 & 0 & 0 & 1 \end{bmatrix}$$

$$V' = SV$$

图像上点:

a. 水平镜像

设: $X' = -x, y' = y$

用齐次矩阵表示:

$$\begin{bmatrix} x' \\ y' \\ 1 \end{bmatrix} = \begin{bmatrix} -1 & 0 & 0 \\ 0 & 1 & 0 \\ 0 & 0 & 1 \end{bmatrix} \begin{bmatrix} x \\ y \\ 1 \end{bmatrix}$$

b. 垂直镜像

设: $X' = x, y' = -y$

用齐次矩阵表示:

$$\begin{bmatrix} x' \\ y' \\ 1 \end{bmatrix} = \begin{bmatrix} 1 & 0 & 0 \\ 0 & -1 & 0 \\ 0 & 0 & 1 \end{bmatrix} \begin{bmatrix} x \\ y \\ 1 \end{bmatrix}$$

c. 放缩变换

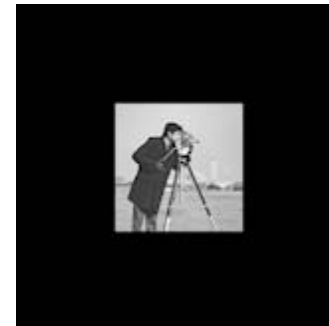
x 方向放缩 c 倍, y 方向放缩 d 倍

设: $\mathbf{x}' = c\mathbf{x}$, $\mathbf{y}' = d\mathbf{y}$

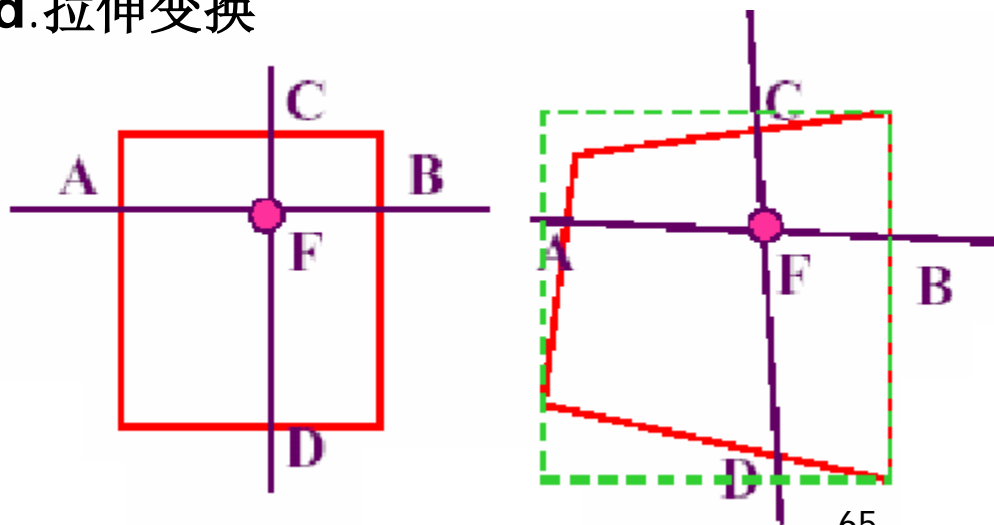
用齐次矩阵表示:

$$\begin{bmatrix} x' \\ y' \\ 1 \end{bmatrix} = \begin{bmatrix} c & 0 & 0 \\ 0 & d & 0 \\ 0 & 0 & 1 \end{bmatrix} \begin{bmatrix} x \\ y \\ 1 \end{bmatrix}$$

例: $S = \begin{bmatrix} 1/2 & 0 & 0 \\ 0 & 1/2 & 0 \\ 0 & 0 & 1 \end{bmatrix}$



d. 拉伸变换





(3) 旋转变换:

空间点:

以X轴顺时针旋转 α :

$$\text{旋转矩阵 } R_{\alpha} = \begin{bmatrix} 1 & 0 & 0 & 0 \\ 0 & \cos \alpha & \sin \alpha & 0 \\ 0 & -\sin \alpha & \cos \alpha & 0 \\ 0 & 0 & 0 & 1 \end{bmatrix}$$

以Y轴顺时针旋转 β :

$$\text{旋转矩阵 } R_{\beta} = \begin{bmatrix} \cos \beta & 0 & -\sin \beta & 0 \\ 0 & 1 & 0 & 0 \\ \sin \beta & 0 & \cos \beta & 0 \\ 0 & 0 & 0 & 1 \end{bmatrix}$$

以Z轴顺时针旋转 γ :

$$\text{旋转矩阵 } R_\gamma = \begin{bmatrix} \cos \gamma & \sin \gamma & 0 & 0 \\ -\sin \gamma & \cos \gamma & 0 & 0 \\ 0 & 0 & 1 & 0 \\ 0 & 0 & 0 & 1 \end{bmatrix}$$

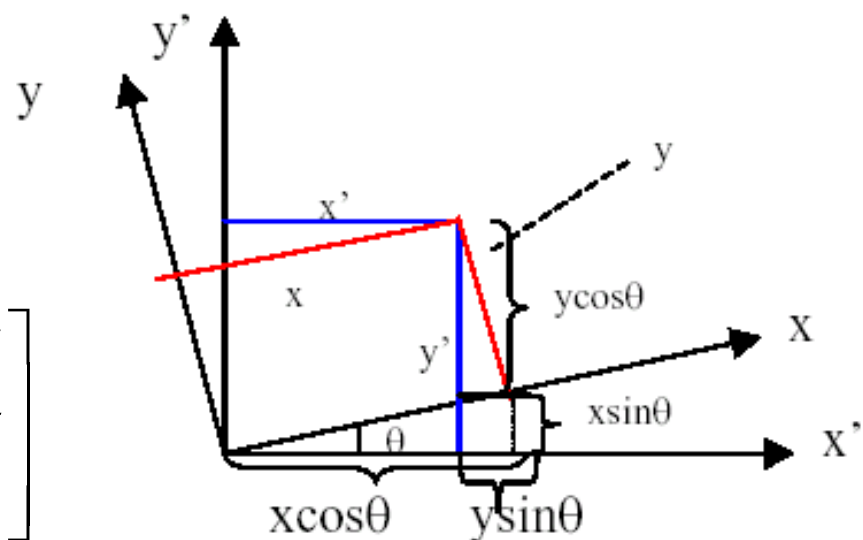
将空间点A绕空间任一点B旋转需要3个变换:

- (1) 平移B到原点
- (2) 将点A绕原点旋转
- (3) 平移点B回到原始位置

图像上点:

绕原点顺时针旋转 θ 角:

$$\begin{bmatrix} x' \\ y' \\ 1 \end{bmatrix} = \begin{bmatrix} \cos \theta & \sin \theta & 0 \\ -\sin \theta & \cos \theta & 0 \\ 0 & 0 & 1 \end{bmatrix} \begin{bmatrix} x \\ y \\ 1 \end{bmatrix}$$



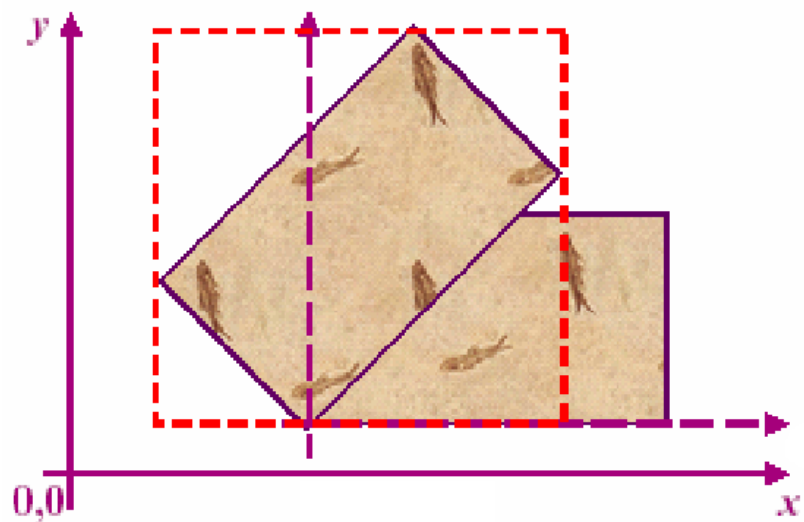
坐标系顺时针旋转 (点逆时针)

(4) 级连:

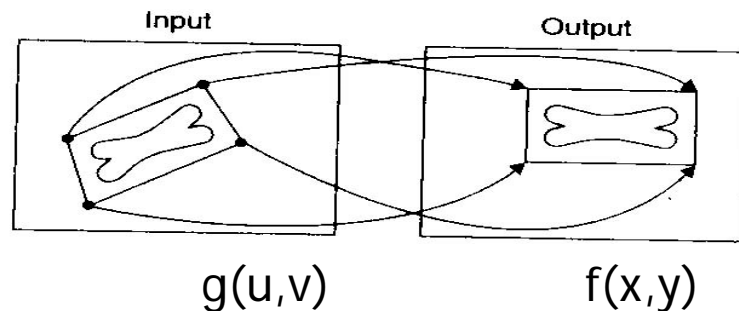
空间点: 将一个点 (X, Y, Z) 平移、放缩、绕Z轴旋转

$$A = RST$$

图像上的点:



2. 一般变换: 多项式卷绕



几何运算实现的两种方法:

向前映射计算法

$$g(x, y) = f(a(x', y'), b(x', y'));$$

从原图像坐标计算出目标图像坐标

——镜像、平移变换使用这种计算方法

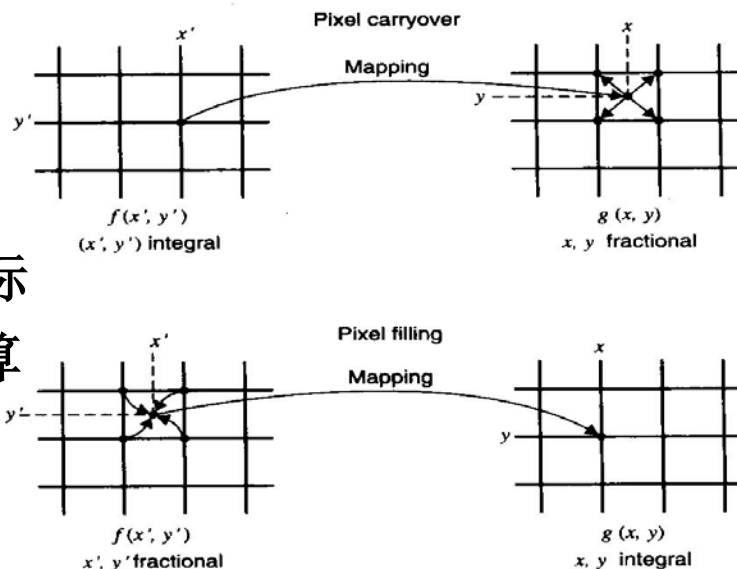
向后映射计算法

$$g(a'(x, y), b'(x, y)) = f(x', y');$$

从结果图像的坐标计算原图像的坐标

——旋转、拉伸、放缩可以使用

解决了漏点的问题，出现了马赛克



二. 灰度插值

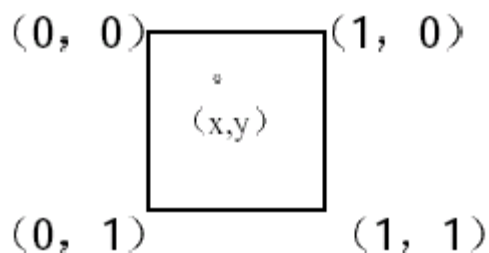
最邻近插值法（0阶）

双线性插值（一阶插值）

高阶插值

(1) 最邻近插值法

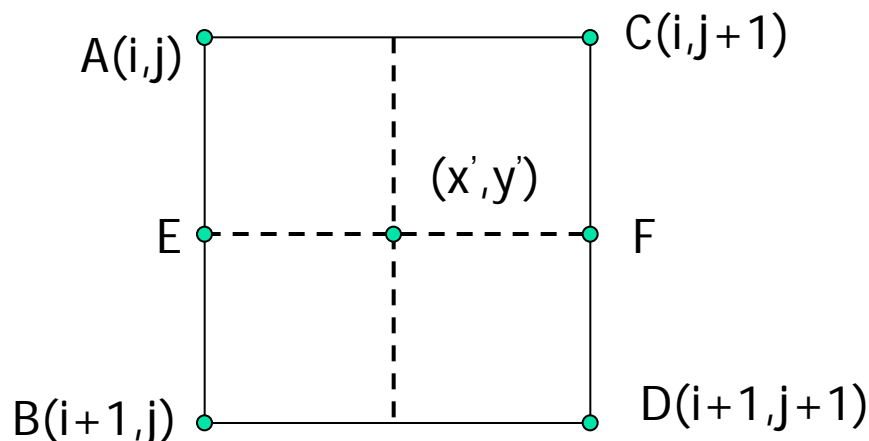
——最邻近点复制



$f(x,y)=f(\text{Round}(x),\text{Round}(y))$,其中 $\text{Round}(x)$ 为四舍五入函数

(2) 双线性插值（一阶插值）

已知正方形的4个顶点，求正方形内部的点，有双线性方程： $f(x, y) = ax + by + cxy + d$



E点的灰度:

$$g(E) = (x' - i)[g(B) - g(A)] + g(A)$$

$$g(F) = (x' - i)[g(D) - g(C)] + g(C)$$

$$g(x', y') = (y' - j)[g(F) - g(E)] + g(E)$$



a	b	c
d	e	f

Top row: images zoomed from 128×128 , 64×64 , and 32×32 pixels to 1024×1024 pixels, using nearest neighbor gray-level interpolation. Bottom row: same sequence, but using bilinear interpolation.

(3) 高阶插值

双线性插值的缺陷:

- 平滑作用使图像细节退化, 尤其在放大时, 不连续性会产生不希望的结果

高阶插值的实现

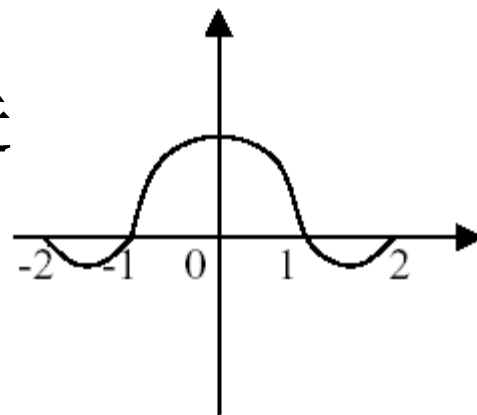
- 用三次样条插值, 常用卷积来实现, 将大大增加计算量

理论上最佳插值函数是 $\text{sinc}(w) = (\sin w) / w$

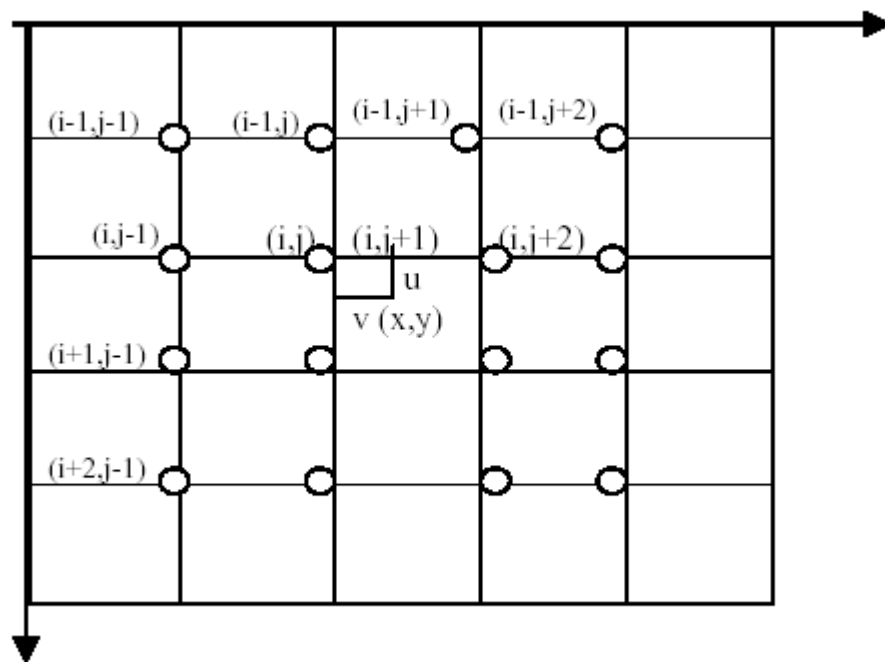
在显示上高斯函数插值

在计算上用三次样条函数 $s(w)$ 插值逼近

$$s(w) = \begin{cases} 1 - 2|w|^2 + |w|^3 & |w| < 1 \\ 4 - 8|w| + 5|w|^2 - |w|^3 & 1 \leq |w| < 2 \\ 0 & |w| \geq 2 \end{cases}$$



■ 利用周围十六点插值





三. 应用——几何失真校正

几何失真校正包括2个主要步骤

(1)位置关系

(2)灰度内插

(一) 位置关系

原图像: $f(x, y)$ 失真图像: $g(x', y')$

$$x' = s(x, y)$$

$$y' = t(x, y)$$

通过选取控制点对, 求出 (x', y') 与 (x, y) 坐标之间的关系

(1)为线性失真:

$$x' = a_1x + a_2y + a_3$$

$$y' = b_1x + b_2y + b_3$$

6个系数要3个控制点对
为减少误差, 选取 $n>3$ 个控制点对

$$\begin{bmatrix} x_1' \\ x_2' \\ \cdot \\ \cdot \\ \cdot \\ x_n' \end{bmatrix} = \begin{bmatrix} x_1 & y_1 & 1 \\ x_2 & y_2 & 1 \\ \cdot & \cdot & \cdot \\ \cdot & \cdot & \cdot \\ \cdot & \cdot & \cdot \\ x_n & y_n & 1 \end{bmatrix} \begin{bmatrix} a_1 \\ a_2 \\ a_3 \end{bmatrix}$$

$$M = \begin{bmatrix} x_1 & y_1 & 1 \\ x_2 & y_2 & 1 \\ \cdot & \cdot & \cdot \\ \cdot & \cdot & \cdot \\ \cdot & \cdot & \cdot \\ x_n & y_n & 1 \end{bmatrix} \quad \begin{bmatrix} a_1 \\ a_2 \\ a_3 \end{bmatrix} = (M^T M)^{-1} M^T \begin{bmatrix} x_1' \\ x_2' \\ \cdot \\ \cdot \\ \cdot \\ x_n' \end{bmatrix} \quad \begin{bmatrix} b_1 \\ b_2 \\ b_3 \end{bmatrix} = (M^T M)^{-1} M^T \begin{bmatrix} y_1' \\ y_2' \\ \cdot \\ \cdot \\ \cdot \\ y_n' \end{bmatrix}$$



(2)为双线性失真:

$$\begin{cases} x' = a_1 xy + a_2 x + a_3 y + a_4 \\ y' = b_1 xy + b_2 x + b_3 y + b_4 \end{cases}$$

8个系数要4个控制点对
为减少误差, 选取 $n > 4$ 个控制点对

$$M = \begin{bmatrix} x_1 y_1 & x_1 & y_1 & 1 \\ x_2 y_2 & x_2 & y_2 & 1 \\ \cdot & \cdot & \cdot & \cdot \\ \cdot & \cdot & \cdot & \cdot \\ \cdot & \cdot & \cdot & \cdot \\ x_n y_n & x_n & y_n & 1 \end{bmatrix} \begin{bmatrix} a_1 \\ a_2 \\ a_3 \\ a_4 \end{bmatrix} = (M^T M)^{-1} M^T \begin{bmatrix} x_1' \\ x_2' \\ \cdot \\ \cdot \\ \cdot \\ x_n' \end{bmatrix} \begin{bmatrix} b_1 \\ b_2 \\ b_3 \\ b_4 \end{bmatrix} = (M^T M)^{-1} M^T \begin{bmatrix} y_1' \\ y_2' \\ \cdot \\ \cdot \\ \cdot \\ y_n' \end{bmatrix}$$

(3)为二次校正式:

$$\begin{aligned}x' &= a_1 x^2 + a_2 y^2 + a_3 xy + a_4 x + a_5 y + a_6 \\y' &= b_1 x^2 + b_2 y^2 + b_3 xy + b_4 x + b_5 y + b_6\end{aligned}$$

12个系数要6个控制点对
为减少误差, 选取 $n > 6$ 个控制点对

$$M = \begin{bmatrix} x_1^2 & y_1^2 & x_1 y_1 & x_1 & y_1 & 1 \\ x_2^2 & y_2^2 & x_2 y_2 & x_2 & y_2 & 1 \\ \cdot & \cdot & \cdot & \cdot & \cdot & \cdot \\ \cdot & \cdot & \cdot & \cdot & \cdot & \cdot \\ \cdot & \cdot & \cdot & \cdot & \cdot & \cdot \\ x_n^2 & y_n^2 & x_n y_n & x_n & y_n & 1 \end{bmatrix}$$

$$\begin{bmatrix} a_1 \\ a_2 \\ a_3 \\ a_4 \\ a_5 \\ a_6 \end{bmatrix} = (M^T M)^{-1} M^T \begin{bmatrix} x_1' \\ x_2' \\ \cdot \\ \cdot \\ \cdot \\ x_n' \end{bmatrix}$$

$$\begin{bmatrix} b_1 \\ b_2 \\ b_3 \\ b_4 \\ b_5 \\ b_6 \end{bmatrix} = (M^T M)^{-1} M^T \begin{bmatrix} y_1' \\ y_2' \\ \cdot \\ \cdot \\ \cdot \\ y_n' \end{bmatrix}$$

选取控制点对注意: n 要大; 点在图像上分布要均匀



(二) 灰度内插

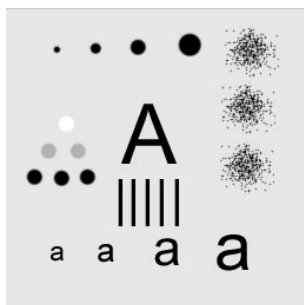
1. 最近邻点法:

取像素点周围四个邻点中距离 (x', y') 最近的像素点灰度作为 (x', y') 的灰度。

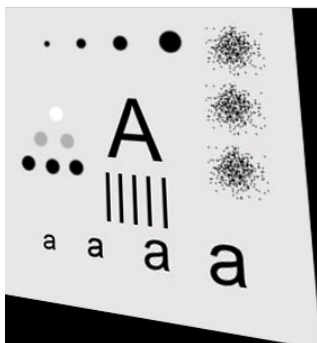
2. 双线性内插法

利用四个邻点的灰度在两个方向上作线性内插

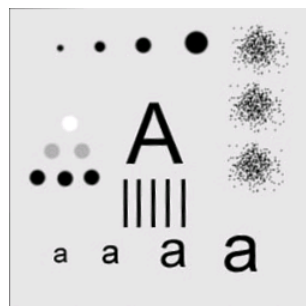
几何失真图像校正:



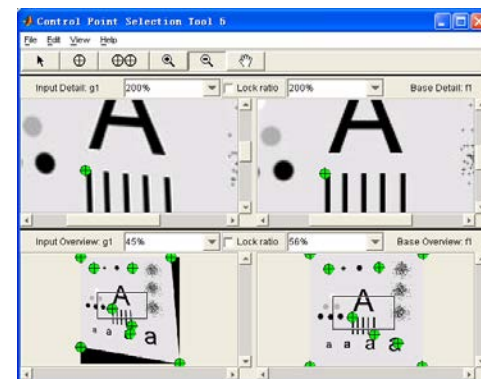
原始图像



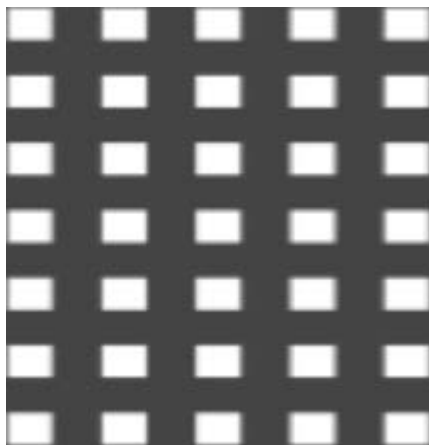
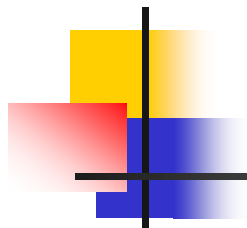
几何失真图像



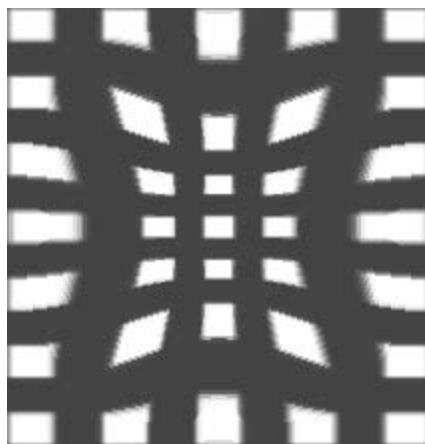
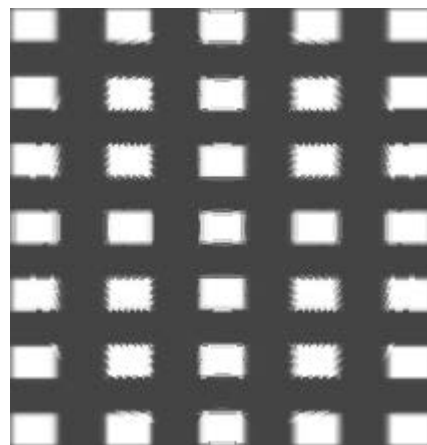
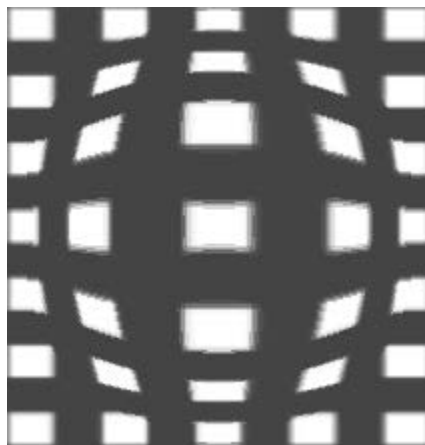
校正图像



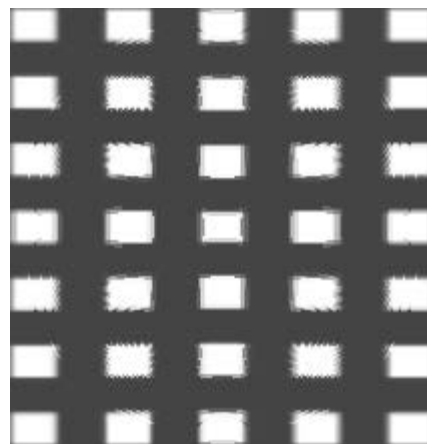
“连控制点”交互选择工具



原图



几何畸变图象



几何校正后图象

图像几何校正实验

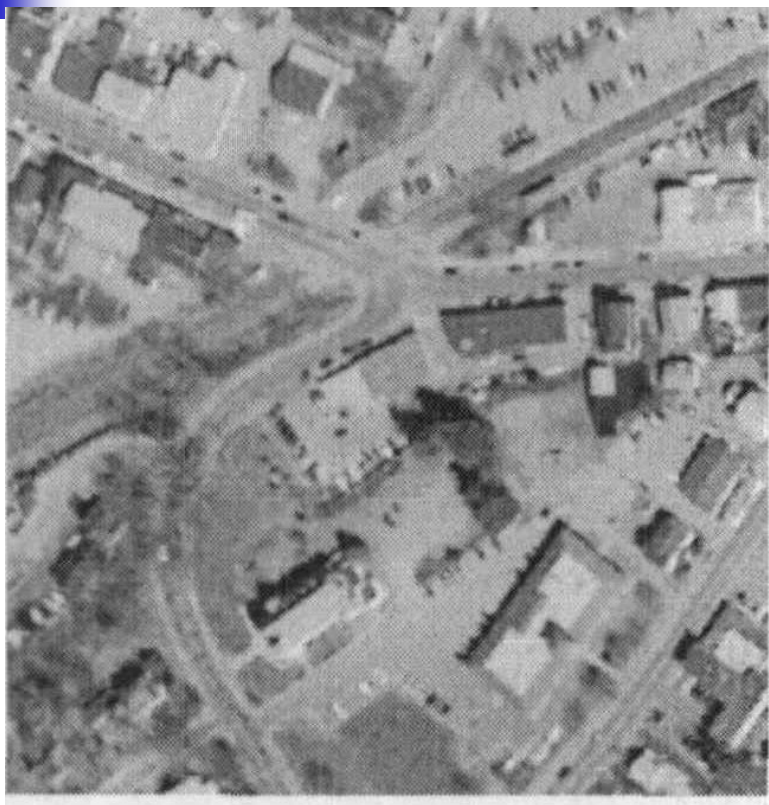


几何畸变图像

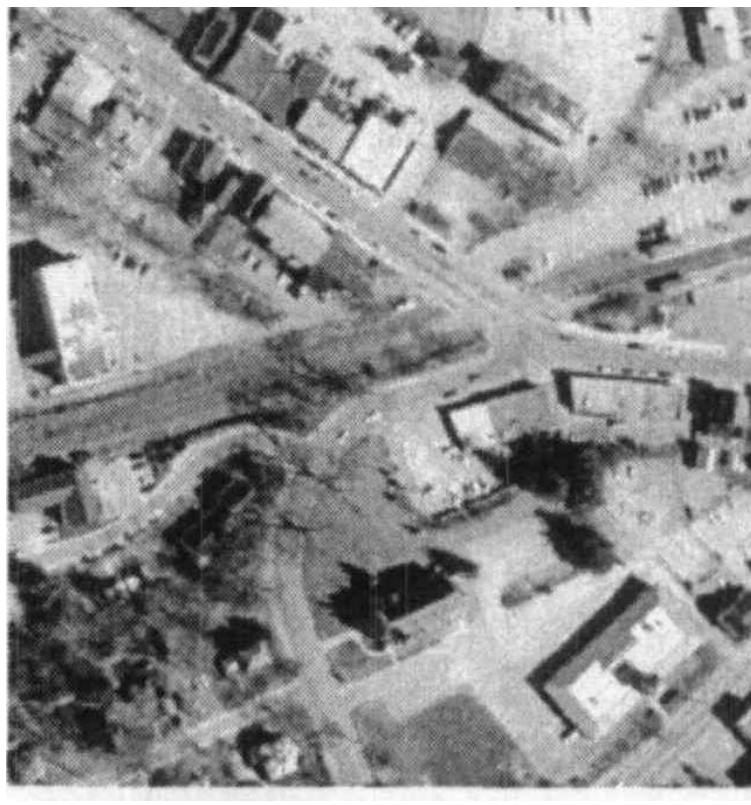


几何校正后图像

图像配准实验

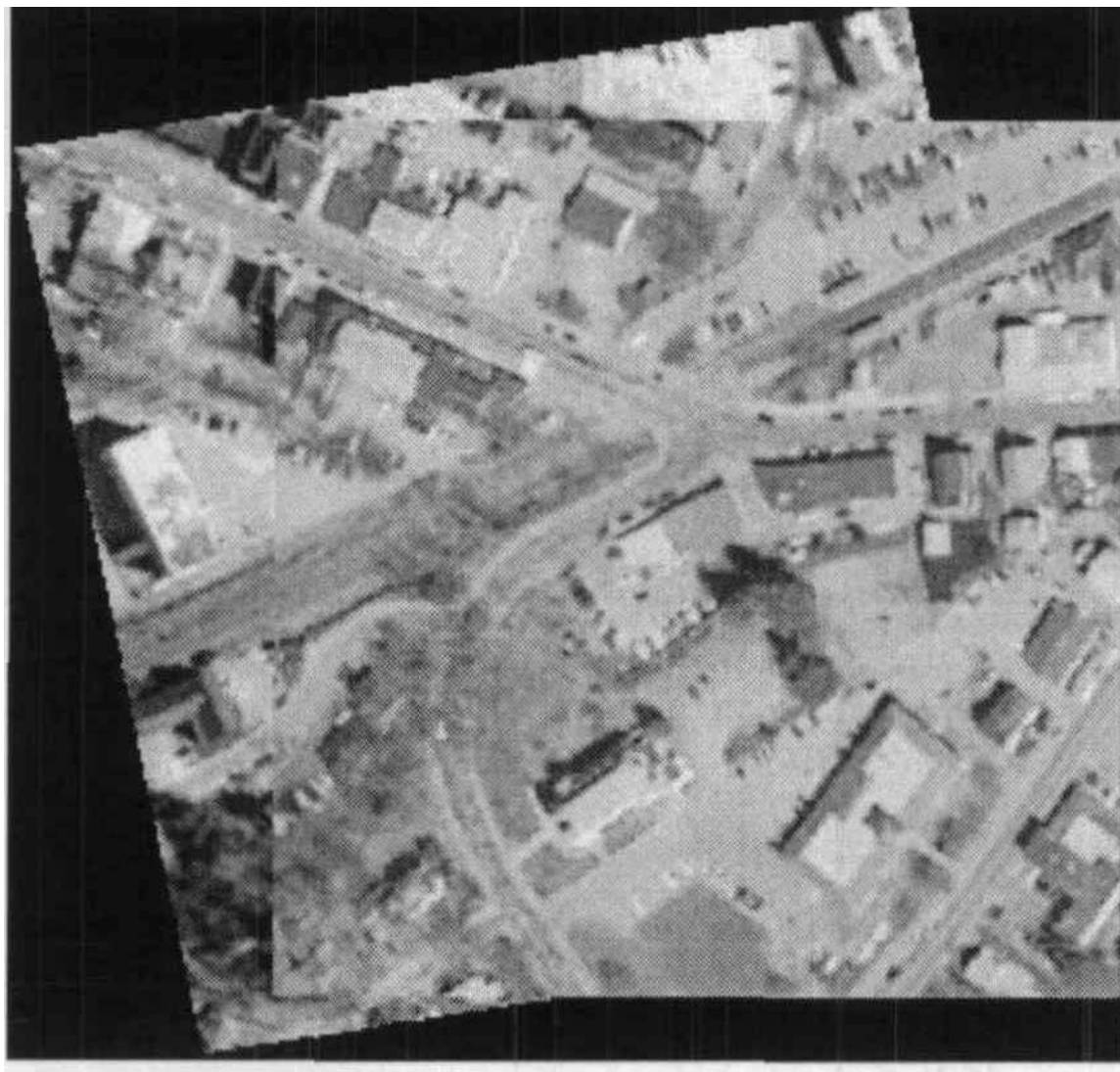


参考图像



待配准图像

图像配准实验



配准结果图像₈₄